

クレジット:

UTokyo Online Education 数理手法Ⅶ 2019 北川源四郎

ライセンス:

利用者は、本講義資料を、教育的な目的に限ってページ単位で利用することができます。特に記載のない限り、本講義資料はページ単位でクリエイティブ・コモンズ 表示-非営利-改変禁止 ライセンスの下に提供されています。

<http://creativecommons.org/licenses/by-nc-nd/4.0/>

本講義資料内には、東京大学が第三者より許諾を得て利用している画像等や、各種ライセンスによって提供されている画像等が含まれています。個々の画像等を本講義資料から切り離して利用することはできません。個々の画像等の利用については、それぞれの権利者の定めるところに従ってください。



時系列解析 (6)

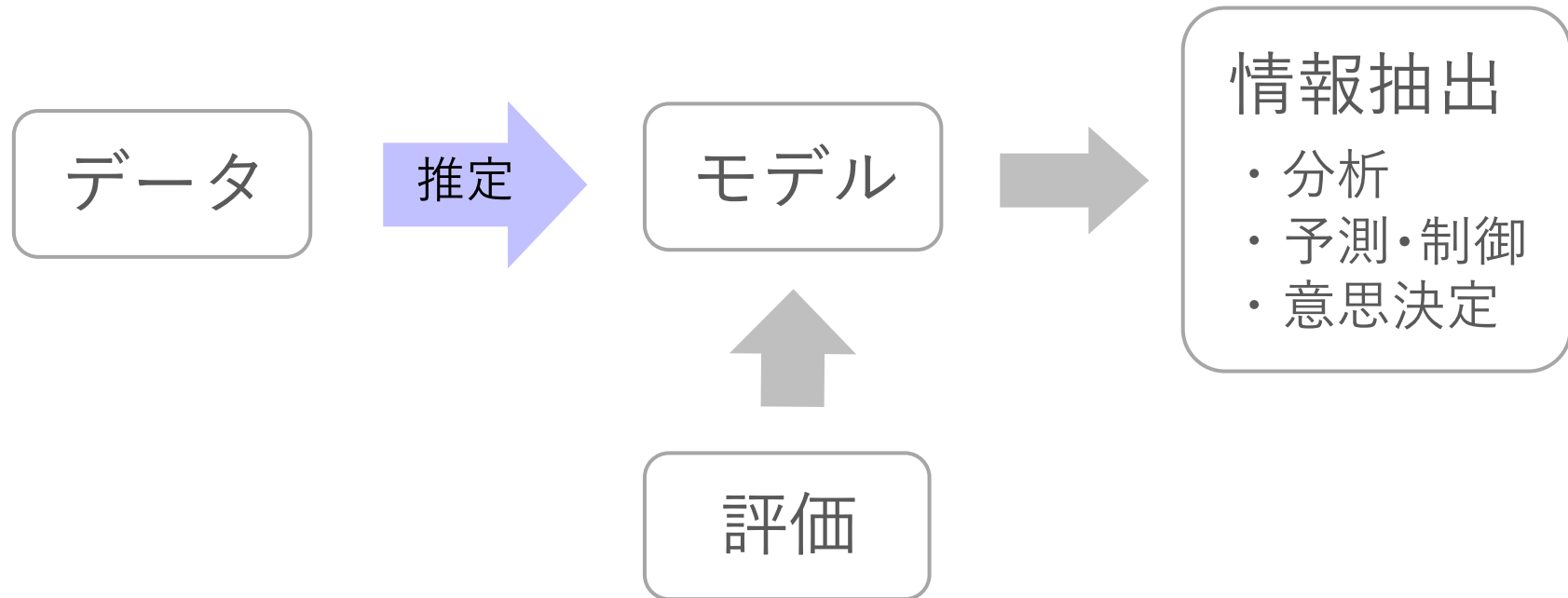
－ ARモデルの推定 －

東京大学 数理・情報教育研究センター
北川 源四郎

概 要

1. ARモデルによる予測
2. 1変量ARモデルの推定
 - (1) Yule-Walker法
 - (2) 最尤法
 - (3) 最小二乗法 (Householder法)
 - (4) PARCOR法
 - (5) 数値例
3. 多変量ARモデルの推定
 - (1) Levinson-Durbin法
 - (2) Householder法
 - (3) 変数選択例
4. 関連する話題
 - (1) 最終予測誤差FPE
 - (2) 統計的最適制御

時系列のモデリング



自己回帰モデル (AR Model)

$$y_n = \sum_{j=1}^m a_j y_{n-j} + v_n$$

y_n 定常時系列
 v_n 正規白色雑音
 m 自己回帰の次数
 a_j 自己回帰係数

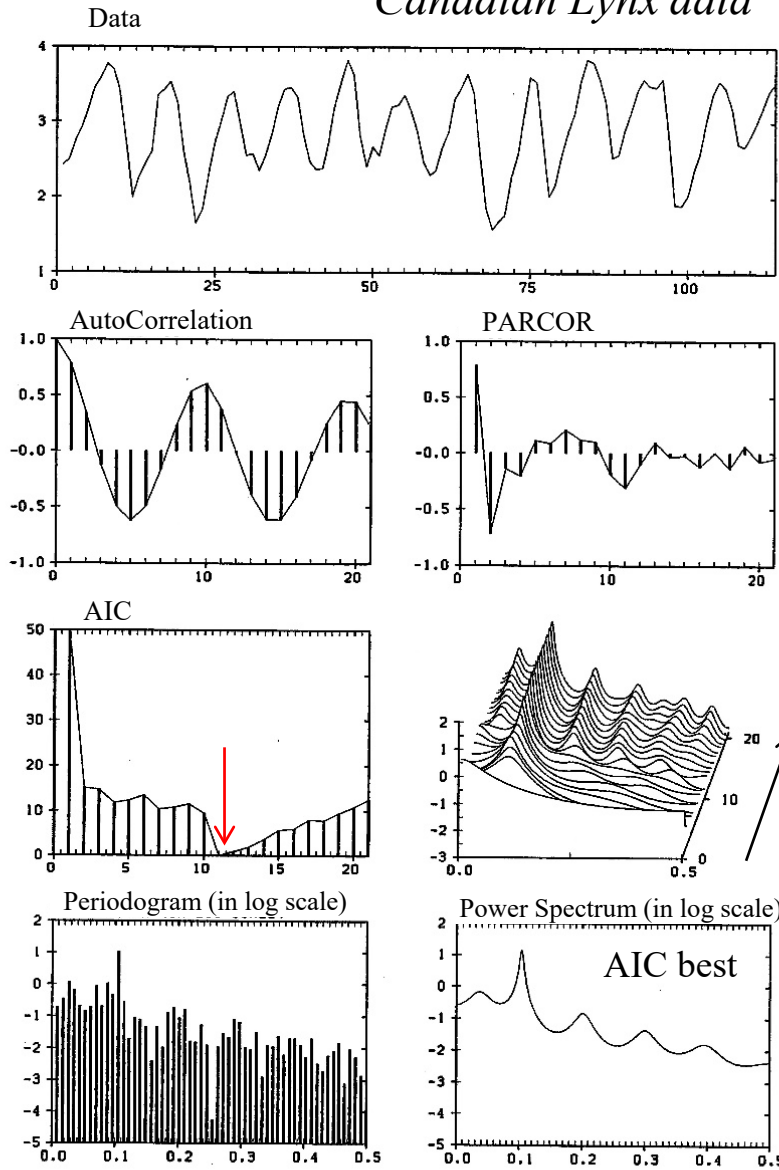
$$v_n \sim N(0, \sigma^2)$$
$$E[v_n v_k] = 0 \quad n \neq k$$
$$E[v_n y_{n-j}] = 0 \quad j > 0$$

ARスペクトル

$$p(f) = \frac{\sigma^2}{\left| 1 - \sum_{j=1}^m a_j e^{-2\pi i j f} \right|^2}, \quad -\frac{1}{2} \leq f \leq \frac{1}{2}$$

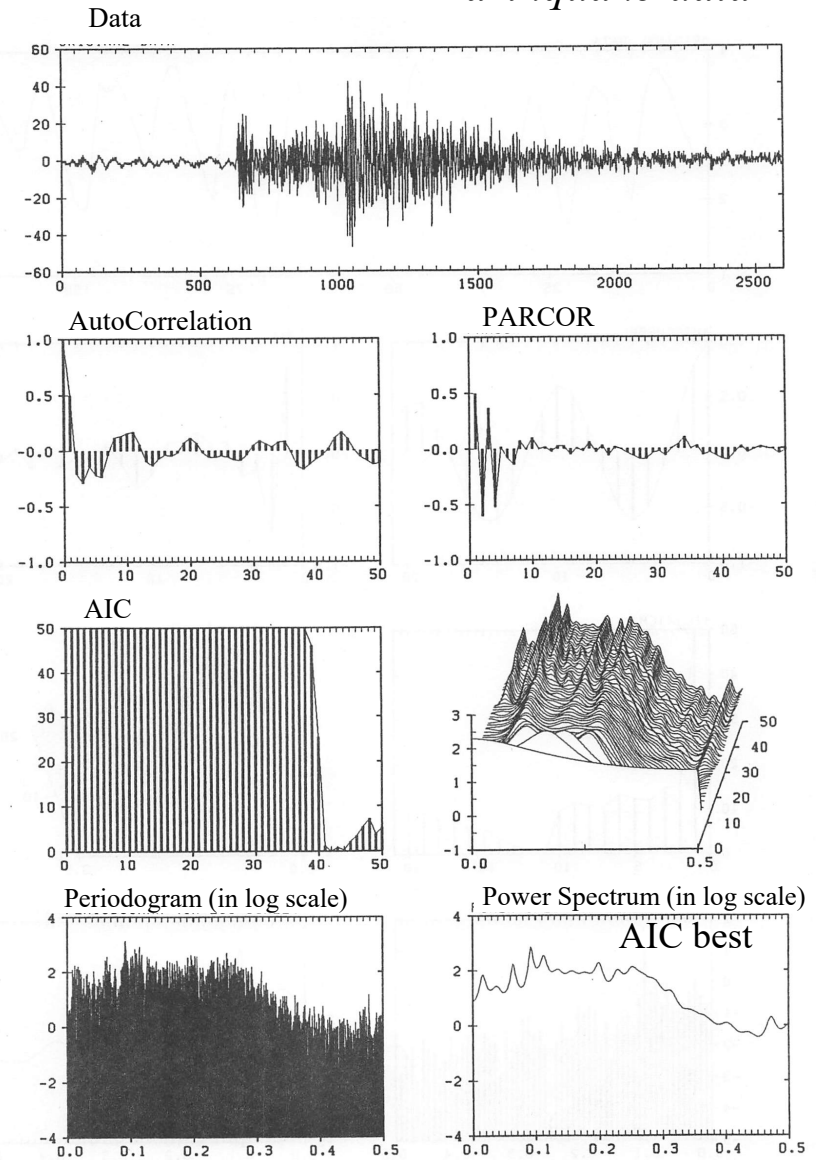
次数によって結果は変わる (スペクトル)

Canadian Lynx data



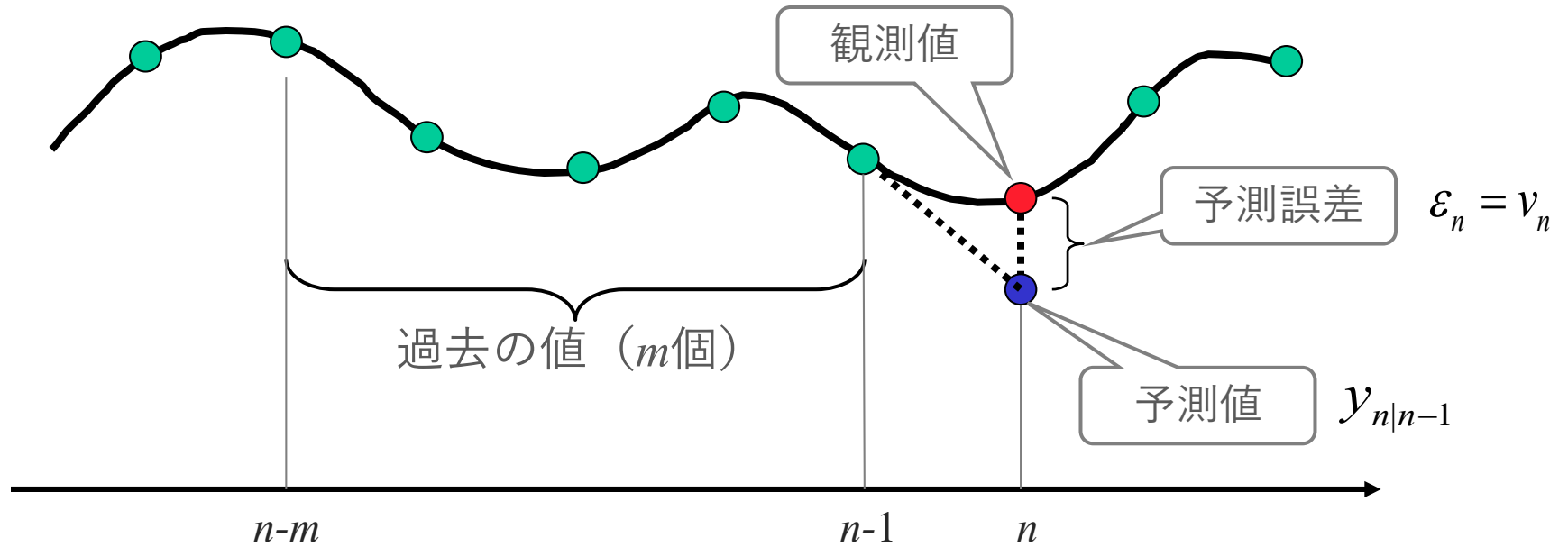
- 3 -

Earthquake data



- 4 -

ARモデルと予測



$$y_n = a_1 y_{n-1} + \cdots + a_m y_{n-m} + v_n$$

ARモデルによる予測

ARモデル

$$y_{n+1} = \underbrace{a_1 y_n + \cdots + a_m y_{n-m+1}}_{\text{現在までのデータで決まる部分}} + v_{n+1}$$

↓
ノイズ

1期先予測

$$y_{n+1|n} \equiv a_1 y_n + \cdots + a_m y_{n-m+1}$$

$y_{n+1|n}$: 時刻 n までの情報に基づく y_{n+1} の予測値

一期先予測誤差

$$\varepsilon_{n+1} = y_{n+1} - y_{n+1|n} = v_{n+1}$$

一期先予測誤差の性質

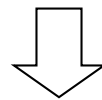
平均 $E[\varepsilon_{n+1}] = E[v_{n+1}] = 0$

分散 $E[\varepsilon_{n+1}^2] = E[v_{n+1}^2] = \sigma^2$

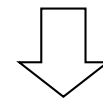
ARモデルによる長期予測

$$y_{n+2} = a_1 y_{n+1} + a_2 y_n + \cdots + a_m y_{n-m+2} + v_{n+2}$$

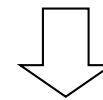
$$y_{n+2|n} = a_1 y_{n+1|n} + a_2 \underline{y_{n|n}} + \cdots + a_m \underline{y_{n-m+2|n}} + \underline{v_{n+2|n}}$$



$$y_n$$



$$y_{n+2-m}$$



$$0$$

$$y_{n+1|n} = a_1 y_n + a_2 y_{n-1} + \cdots + a_m y_{n-m+1}$$

$$y_{n+2|n} = a_1 y_{n+1|n} + a_2 y_n + \cdots + a_m y_{n-m+2}$$

$$y_{n+3|n} = a_1 y_{n+2|n} + a_2 y_{n+1|n} + \cdots + a_m y_{n-m+3}$$

⋮

長期予測の誤差

$$\varepsilon_{n+1} = y_{n+1} - y_{n+1|n} = v_{n+1}$$

$$y_{n+2} = \underline{a_1 y_{n+1}} + a_2 y_n + \cdots + a_m y_{n-m+2} + \underline{v_{n+2}}$$

$$y_{n+2|n} = \underline{a_1 y_{n+1|n}} + a_2 y_n + \cdots + a_m y_{n-m+2}$$

$$\varepsilon_{n+2} = y_{n+2} - y_{n+2|n}$$

$$= a_1 (y_{n+1} - y_{n+1|n}) + v_{n+2} = a_1 \varepsilon_{n+1} + v_{n+2}$$

$$E[\varepsilon_{n+2}] = a_1 E[\varepsilon_{n+1}] + E[v_{n+2}] = 0$$

$$E[\varepsilon_{n+2}^2] = a_1^2 E[\varepsilon_{n+1}^2] + 2a_1 E[\varepsilon_{n+1} v_{n+2}] + E[v_{n+2}^2] = (1 + a_1^2) \sigma^2$$

$$E[\varepsilon_{n+3}^2] = \left\{ 1 + a_1^2 + (a_1^2 + a_2)^2 \right\} \sigma^2$$

長期予測の誤差の性質

$$y_n = \sum_{j=0}^{\infty} g_j v_{n-j}, \quad y_{n+k} = \sum_{j=0}^{\infty} g_j v_{n+k-j}$$

$$v_{n+k|n} = \begin{cases} v_{n+k} & k \leq 0 \\ 0 & k > 0 \end{cases}$$

一般論は状態
空間モデルで

$$y_{n+k|n} = \sum_{j=0}^{\infty} g_j v_{n+k-j|n} = \sum_{j=k}^{\infty} g_j v_{n+k-j}$$

$$\varepsilon_{n+k} = y_{n+k} - y_{n+k|n} = \sum_{j=0}^{\infty} g_j v_{n+k-j} - \sum_{j=k}^{\infty} g_j v_{n+k-j} = \sum_{j=0}^{k-1} g_j v_{n+k-j}$$

$$E[\varepsilon_{n+k}] = \sum_{j=0}^{k-1} g_j E[v_{n+k-j}] = 0$$

$$E[\varepsilon_{n+k}^2] = \sum_{j=0}^{k-1} g_j^2 E[v_{n+k-j}^2] = \sigma^2 \sum_{j=0}^{k-1} g_j^2$$

(例) $g_0 = 1$

$$g_1 = a_1$$

$$g_2 = a_1^2 + a_2$$

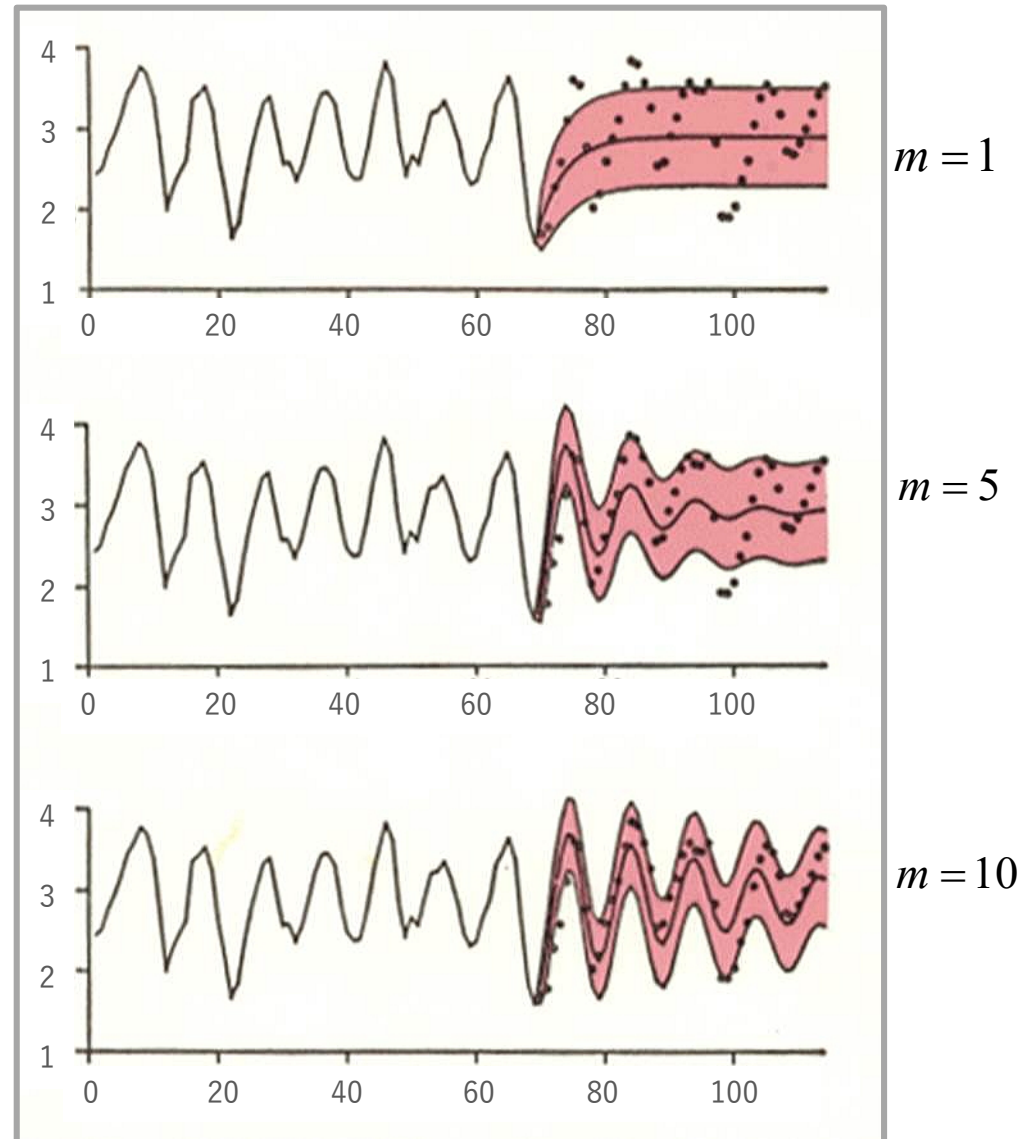
次数によって結果は変わる (予測)

長期予測

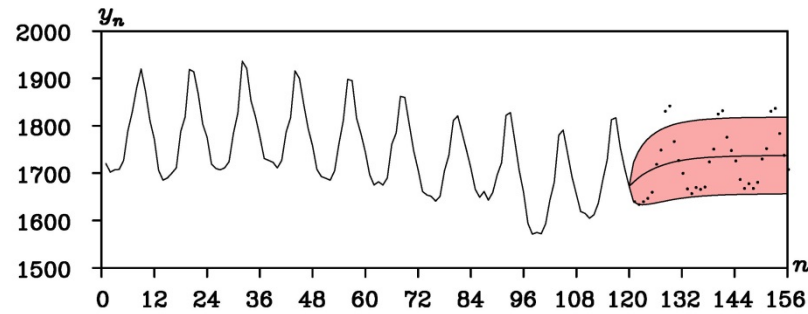
Canadian Lynx data

$$y_n = \sum_{j=1}^m a_j y_{n-j} + v_n$$

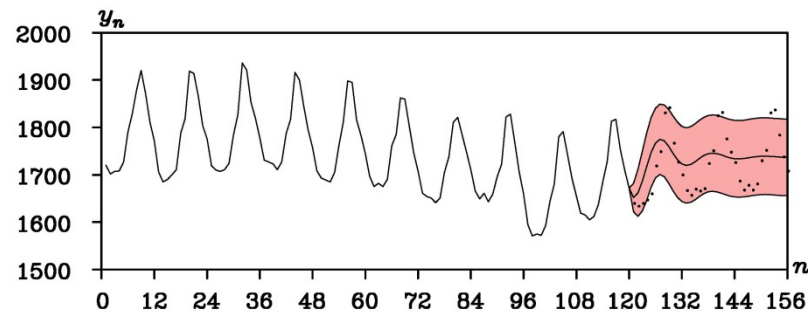
いずれも最適予測分布
(平均、分散)



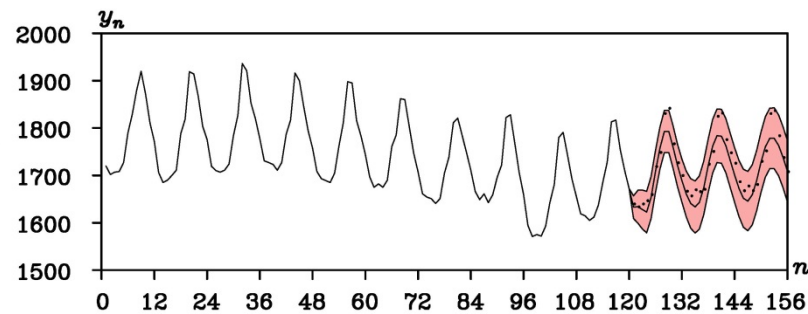
例：長期予測 BLSALLFOODデータ



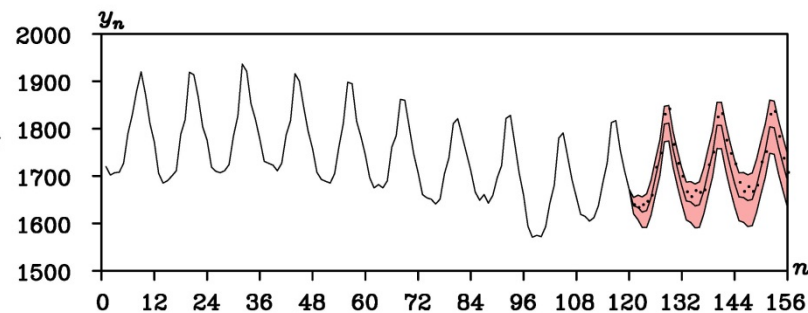
$m = 1$



$m = 5$



$m = 10$



$m = 15$

自己回帰モデル (AR Model) の推定

なぜ一般性のあるARMAモデルでなくARモデルの推定を考えるのか？

1. この時点でARMAモデルの推定（最尤法など）は困難（状態空間モデルが必要）
2. ARモデルの推定は簡単（最小二乗法など）
3. ARモデルの実用性が高い
4. ARMAモデルは自由度が高すぎ、やや不安定

ARモデルの同定問題

$$y_n = \sum_{j=1}^m a_j y_{n-j} + v_n, \quad v_n \sim N(0, \sigma^2)$$

- パラメータ推定

AR係数 a_j ($j=1, \dots, m$) と分散 σ^2 の推定

- 次数 m の選択

AR次数 m の決定

✓ 多数の次数とパラメータを推定する必要がある

ARモデルのパラメータ推定の方法

1. Yule-Walker法
2. 最尤法
3. 最小二乗法
4. PARCOR法 (3種類)


(1) Yule-Walker法

$$y_n = \sum_{i=1}^m a_i y_{n-i} + v_n$$

Yule-Walker方程式

$$C_0 = \sum_{j=1}^m a_j C_j + \sigma^2$$

$$C_k = \sum_{j=1}^m a_j C_{j-k} \quad (k = 1, 2, \dots)$$

$$a_1, \dots, a_m, \sigma^2$$

$$C_0, C_1, \dots, C_m$$

係数に関する1次方程式

$$\begin{bmatrix} \hat{C}_0 & \hat{C}_1 & \cdots & \hat{C}_{m-1} \\ \hat{C}_1 & \hat{C}_0 & \cdots & \hat{C}_{m-2} \\ \vdots & \vdots & \ddots & \vdots \\ \hat{C}_{m-1} & \hat{C}_{m-2} & \cdots & \hat{C}_0 \end{bmatrix} \begin{bmatrix} a_1 \\ a_2 \\ \vdots \\ a_m \end{bmatrix} = \begin{bmatrix} \hat{C}_1 \\ \hat{C}_2 \\ \vdots \\ \hat{C}_m \end{bmatrix}$$

(Toeplitz matrix)

$$\hat{\sigma}^2 = \hat{C}_0 - \sum_{j=1}^m \hat{a}_j \hat{C}_j$$

Yule-Walker方程式の導出 (再掲)

$$y_n = \sum_{i=1}^m a_i y_{n-i} + v_n$$

$$E(y_n \underline{y_{n-k}}) = \sum_{i=1}^m a_i E(y_{n-i} \underline{y_{n-k}}) + E(v_n \underline{y_{n-k}})$$

$$E(v_{n+k} y_n) = \begin{cases} 0 & k > 0 \\ \sigma^2 & k = 0 \end{cases}$$

$$C_0 = \sum_{j=1}^m a_j C_{-j} + \sigma^2$$

$$C_k = \sum_{j=1}^m a_j C_{k-j}, \quad (k = 1, 2, \dots)$$

Yule-Walker法は何をやっているか

$$y_n = \sum_{i=1}^m a_i y_{n-i} + v_n, \quad v_n \sim N(0, \sigma^2)$$

$$\begin{aligned} \sigma^2 &= E[v_n^2] = E\left[\left(y_n - \sum_{j=1}^m a_j y_{n-j}\right)^2\right] \\ &= C_0 - 2 \sum_{j=1}^m a_j C_j + \sum_{j=1}^m \sum_{i=1}^m a_j a_i C_{i-j} \end{aligned}$$

$$\frac{\partial \sigma^2}{\partial a_j} = -2C_j + 2 \sum_{i=1}^m a_i C_{i-j} = 0, \quad (j = 1, \dots, m)$$

Yule-Walker法では予測誤差分散の期待値を最小にするように係数 a_j を決めている。

Levinson's Algorithm (Levinson-Durbin)

- 一連のYule-Walker方程式を単純に計算すると
 - m 元一次方程式の計算量 (Gauss消去法: $m^3/3 + O(m^2)$)
 - 次数は未知: 1次 $\sim M$ 次

$$(1+2^3+\dots+M^3)/3 = M^2(M+1)^2/12 \approx M^4/12$$

- Levinsonのアルゴリズムは一連のYule-Walker方程式を効率よく求める方法
 - 計算量は $2M^2$ 程度になる

$M = 100$ のとき

$$\frac{2M^2}{M^4/12} = \frac{24}{M^2} = \frac{24}{10,000} = 0.0024$$

Levinson's Algorithm

$$1. \quad \sigma_0^2 = C_0$$

$$\text{AIC}_0 = N(\log 2\pi\hat{\sigma}_0^2 + 1) + 2$$

2. $m = 1, \dots, M$ について

$$(a) \quad a_m^m = (C_m - \sum_{j=1}^{m-1} a_j^{m-1} C_{m-j})(\sigma_{m-1}^2)^{-1}$$

$$(b) \quad a_j^m = a_j^{m-1} - a_m^m a_{m-j}^{m-1} \quad (j = 1, \dots, m-1)$$

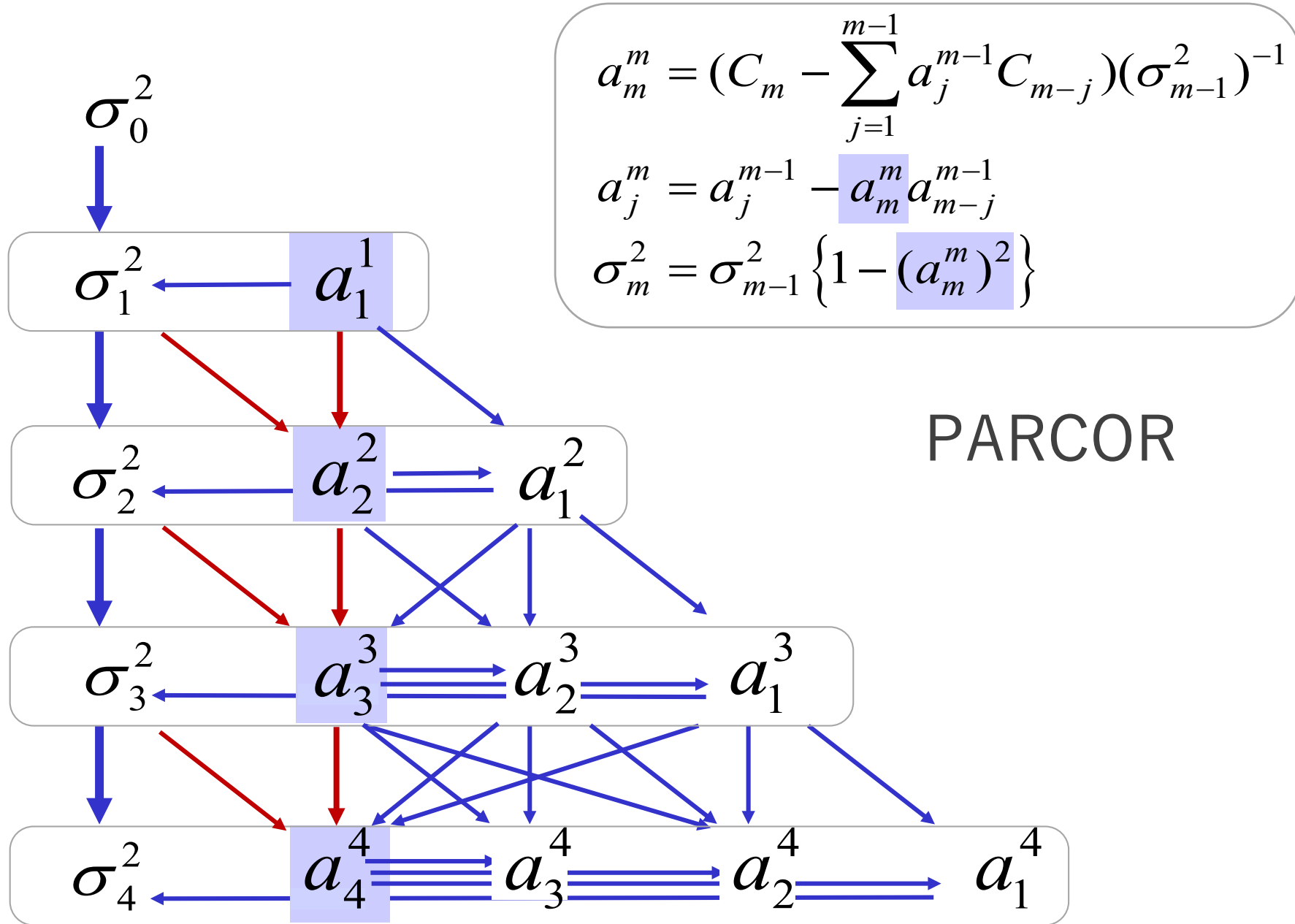
$$(c) \quad \sigma_m^2 = \sigma_{m-1}^2 \{1 - (a_m^m)^2\}$$

$$(d) \quad \text{AIC}_m = N(\log 2\pi\hat{\sigma}_m^2 + 1) + 2(m+1)$$

積除	和差
m	$m-1$
$m-1$	$m-1$
2	1
$2m+1$	$2m-1$

計算量 : $\sum_{m=1}^M 4m = 2M(M+1) \approx 2M^2$

Levinson's Algorithm



Levinson Algorithmの導出

C_k , ($k=0,1,\dots$)と $m-1$ 次のARモデルのYule-Walker推定値が与えられているとき, m 次のARモデルのYule-Walker推定値を効率よく求める方法.

$\hat{a}_1^{m-1}, \dots, \hat{a}_{m-1}^{m-1}$ はYule-Walker方程式をみたすので

$$C_k = \sum_{j=1}^{m-1} \hat{a}_j^{m-1} C_{j-k}, \quad (k=1, \dots, m-1)$$

したがって, 予測誤差 v_n^{m-1} について

$$E \left[v_n^{m-1} y_{n-k} \right] = E \left[\left(y_n - \sum_{j=1}^{m-1} \hat{a}_j^{m-1} y_{n-j} \right) y_{n-k} \right] = 0, \quad (k=1, \dots, m-1)$$

$$y_n = \sum_{j=1}^{m-1} a_j^{m-1} y_{n-j} + v_n^{m-1}$$

Levinson Algorithmの導出 (2)

$m-1$ 次の後向きARモデル

$$y_n = \sum_{j=1}^{m-1} a_j^{m-1} y_{n+j} + w_n^{m-1}$$

$C_{-k}=C_k$ なので、後向きARモデルも同じYule-Walker方程式をみます。

$$E\left[w_{n-m}^{m-1} y_{n-k}\right] = E\left[\left(y_{n-m} - \sum_{j=1}^{m-1} \hat{a}_j^{m-1} y_{n-m+j}\right) y_{n-k}\right] = 0, \quad (k=1, \dots, m-1)$$

ここで $z_n \equiv v_n^{m-1} - \beta w_{n-k}^{m-1}$ と定義すると

$$\begin{aligned} &= y_n - \sum_{j=1}^{m-1} \hat{a}_j^{m-1} y_{n-j} - \beta \left(y_{n-m} - \sum_{j=1}^{m-1} \hat{a}_j^{m-1} y_{n-m+j} \right) \\ &= y_n - \sum_{j=1}^{m-1} (\hat{a}_j^{m-1} - \beta \hat{a}_{m-j}^{m-1}) y_{n-j} - \beta y_{n-m} \end{aligned}$$

$$\begin{aligned} E\left[v_n^{m-1} y_{n-k}\right] &= 0 \\ E\left[w_{n-m}^{m-1} y_{n-k}\right] &= 0 \\ \text{for } k &= 1, \dots, m-1 \end{aligned}$$

$E\left[z_n y_{n-k}\right] = 0, \quad k=1, \dots, m-1$ については自動的になりたつので

$E\left[z_n y_{n-m}\right] = 0$ が成りたつように β を決めればよい。

Levinson Algorithmの導出 (3)

$$\begin{aligned} E[z_n y_{n-m}] &= E\left[\left\{y_n - \sum_{j=1}^{m-1} \hat{a}_j^{m-1} y_{n-j} - \beta(y_{n-m} - \sum_{j=1}^{m-1} \hat{a}_j^{m-1} y_{n-m+j})\right\} y_{n-m}\right] \\ &= C_m - \sum_{j=1}^{m-1} \hat{a}_j^{m-1} C_{m-j} - \beta(C_0 - \sum_{j=1}^{m-1} \hat{a}_j^{m-1} C_j) = 0 \end{aligned}$$

$$\beta = (C_0 - \sum_{j=1}^{m-1} \hat{a}_j^{m-1} C_j)^{-1} (C_m - \sum_{j=1}^{m-1} \hat{a}_j^{m-1} C_{m-j})$$

$$= (\sigma_{m-1}^2)^{-1} (C_m - \sum_{j=1}^{m-1} \hat{a}_j^{m-1} C_{m-j}) \quad \hat{a}_m^m = \beta \text{ とする}$$

$$\hat{a}_j^m \equiv \hat{a}_j^{m-1} - \hat{a}_m^m \hat{a}_{m-j}^{m-1} \text{ とおくと}$$

$$E[(y_n - \sum_{j=1}^{m-1} \hat{a}_j^m y_{n-j}) y_{n-k}] = C_k - \sum_{j=1}^{m-1} \hat{a}_j^m C_{k-j} = 0, \quad (k=1, \dots, m) \quad \text{がなりたつ}$$

$\hat{a}_1^m, \dots, \hat{a}_m^m$ は m 次の Yule-Walker 方程式の解

Levinson Algorithmの導出 (4)

$$\begin{aligned}\hat{\sigma}_m^2 &= C_0 - \sum_{j=1}^m \hat{a}_j^m C_j \\ &= C_0 - \sum_{j=1}^{m-1} (\hat{a}_j^{m-1} - \hat{a}_m^m \hat{a}_{m-j}^{m-1}) C_j - \hat{a}_m^m C_m \\ &= C_0 - \sum_{j=1}^{m-1} \hat{a}_j^{m-1} C_j - \hat{a}_m^m (C_m - \sum_{j=1}^{m-1} \hat{a}_{m-j}^{m-1} C_j) \\ &= \hat{\sigma}_{m-1}^2 - \hat{a}_m^m (C_m - \sum_{j=1}^{m-1} \hat{a}_{m-j}^{m-1} C_j)\end{aligned}$$

$$C_m - \sum_{j=1}^{m-1} \hat{a}_{m-j}^{m-1} C_j = \hat{a}_m^m \hat{\sigma}_{m-1}^2 \longleftarrow \hat{a}_m^m = (\hat{\sigma}_{m-1}^2)^{-1} (C_m - \sum_{j=1}^{m-1} \hat{a}_j^{m-1} C_{m-j})$$

$$\hat{\sigma}_m^2 = \hat{\sigma}_{m-1}^2 (1 - (\hat{a}_m^m)^2)$$

(2) 最尤法：ARモデルの尤度

$$y_n = \sum_{j=1}^m a_j y_{n-j} + v_n, \quad v_n \sim N(0, \sigma^2) \quad \theta = (a_1, \dots, a_m, \sigma^2)^T$$

- 定義通りの方法

$$y = \begin{bmatrix} y_1 \\ y_2 \\ \vdots \\ y_N \end{bmatrix}, \quad \mu = \begin{bmatrix} 0 \\ 0 \\ \vdots \\ 0 \end{bmatrix}, \quad C = \begin{bmatrix} C_0 & C_1 & \cdots & C_{N-1} \\ C_1 & C_0 & \ddots & \vdots \\ \vdots & \ddots & \ddots & C_1 \\ C_{N-1} & \cdots & C_1 & C_0 \end{bmatrix}$$

$$y \sim N(\mu, C)$$

$$L(\theta) = p(y_1, \dots, y_N | \theta) = (2\pi)^{-\frac{N}{2}} |C|^{-\frac{1}{2}} \exp \left\{ -\frac{1}{2} (x - \mu)^T C^{-1} (x - \mu) \right\}$$

$\ell(\theta) = \log L(\theta)$ の数値的最適化により最尤推定値を求める

(2) 最尤法：ARモデルの尤度

- 各時刻の条件付き分布に分解する方法

$$\begin{aligned} L(\theta) &= p(y_1, \dots, y_N | \theta), \\ &= p(y_1 | \theta) p(y_2, \dots, y_N | y_1, \theta) \\ &= p(y_1 | \theta) p(y_2 | y_1, \theta) p(y_3, \dots, y_N | y_1, y_2, \theta) \\ &= \dots \\ &= \prod_{n=1}^N p(y_n | y_1, \dots, y_{n-1}, \theta) \end{aligned}$$

$n > m$ のとき

$$p(y_n | y_1, \dots, y_{n-1}, \theta) = \frac{1}{\sqrt{2\pi\sigma^2}} \exp \left\{ -\frac{1}{2\sigma^2} \left(y_n - \sum_{j=1}^m a_j y_{n-j} \right)^2 \right\}$$

$n \leq m$ のとき？

- 低次のAR係数を計算して、同様に条件付き分布を計算
- (y_1, \dots, y_m) の部分だけ定義通りの方法で計算
- 厳密な最尤法には状態空間モデルが便利

(3) 最小二乗法：尤度の近似

$n > m$ のとき

$$\begin{aligned} p(y_n | y_1, \dots, y_{n-1}, \theta) &= p(y_n | y_{n-m}, \dots, y_{n-1}, \theta) \\ &= \frac{1}{\sqrt{2\pi\sigma^2}} \exp \left\{ -\frac{1}{2\sigma^2} \left(y_n - \sum_{j=1}^m a_j y_{n-j} \right)^2 \right\} \end{aligned}$$

$$\begin{aligned} \ell(\theta) &= \sum_{n=1}^N \log p(y_n | y_1, \dots, y_{n-1}) \\ &\cong \sum_{n=m+1}^N \log p(y_n | y_{n-m}, \dots, y_{n-1}) \\ &= -\frac{N-m}{2} \log(2\pi\sigma^2) - \frac{1}{2\sigma^2} \sum_{n=m+1}^N \left(y_n - \sum_{j=1}^m a_j y_{n-j} \right)^2 \end{aligned}$$

- 最初の m 個 y_1, \dots, y_m の分布を無視(条件付けだけに使う)。
- モデル比較のためには無視するデータ数を同じにする。

(3) 最小二乗法によるARモデルの推定

$$\ell'(\sigma^2, a_j) = -\frac{N-m}{2} \log(2\pi\sigma^2) - \frac{1}{2\sigma^2} \sum_{n=m+1}^N (y_n - \sum_{j=1}^m a_j y_{n-j})^2$$

$$\frac{\partial \ell'(\sigma^2, a_j)}{\partial \sigma^2} = -\frac{N-m}{2\sigma^2} + \frac{1}{2(\sigma^2)^2} \sum_{n=m+1}^N (y_n - \sum_{j=1}^m a_j y_{n-j})^2 = 0$$

$$\hat{\sigma}^2 = \frac{1}{N-m} \sum_{n=m+1}^N (y_n - \sum_{j=1}^m a_j y_{n-j})^2$$

$$\ell'(\hat{\sigma}^2, a_j) = -\frac{N-m}{2} \log(2\pi\hat{\sigma}^2) - \frac{N-m}{2}$$

$$\max_{a_j} \ell'(\hat{\sigma}^2, a_j) \Leftrightarrow \min_{a_j} \hat{\sigma}^2 \Leftrightarrow \min_{a_j} \sum_{n=m+1}^N (y_n - \sum_{j=1}^m a_j y_{n-j})^2$$

- 近似最尤法 ~ 最小二乗法

最小二乘法

$$y = \begin{bmatrix} y_{m+1} \\ \vdots \\ y_N \end{bmatrix}, \quad Z = \begin{bmatrix} y_m & \cdots & y_1 \\ \vdots & & \vdots \\ y_{N-1} & \cdots & y_{N-m} \end{bmatrix}, \quad a = \begin{bmatrix} a_1 \\ \vdots \\ a_m \end{bmatrix}, \quad v = \begin{bmatrix} v_{m+1} \\ \vdots \\ v_N \end{bmatrix}$$

$$y = Za + v$$

$$\|v\|^2 = \|y - Za\|^2$$

$$\hat{a} = (Z^T Z)^{-1} Z^T y$$

Householder 法

Householder法

- 平方根アルゴリズム（フィルタリングでも使える）
- 共分散行列を使わずデータ行列から直接推定

Householder法を使うメリット

1. 計算精度（2倍精度）
2. トータルの計算量が少ない
2. モデルの自由度（変数選択、次数選択）
3. 計算上の便利さ（モデル併合、データ逐次併合）

デメリット

1. Householder法特有のデメリットはほぼない
2. 最小二乗法自体のデメリットは継承する

Householder 法

$$Z = \begin{bmatrix} y_m & y_{m-1} & \cdots & y_1 \\ y_{m+1} & y_m & \cdots & y_2 \\ \vdots & \vdots & \ddots & \vdots \\ y_{N-1} & y_{N-2} & \cdots & y_{N-m} \end{bmatrix}, \quad y = \begin{bmatrix} y_{m+1} \\ y_{m+2} \\ \vdots \\ y_N \end{bmatrix}$$

← m →
↑ N-m ↓

$$X = [Z | y] = \left[\begin{array}{cccc|c} y_m & y_{m-1} & \cdots & y_1 & y_{m+1} \\ y_{m+1} & y_m & \cdots & y_2 & y_{m+2} \\ \vdots & \vdots & \ddots & \vdots & \vdots \\ y_{N-1} & y_{N-2} & \cdots & y_{N-m} & y_N \end{array} \right]$$

$$HX = \begin{bmatrix} S \\ O \end{bmatrix} = \left[\begin{array}{ccc|c} s_{11} & \cdots & s_{1m} & s_{1,m+1} \\ & \ddots & \vdots & \vdots \\ & & s_{mm} & s_{m,m+1} \\ \hline & & & s_{m+1,m+1} \\ \hline & & & O \end{array} \right]$$

AICによる次数選択

$$\ell(\hat{\theta}) = -\frac{N}{2} \log 2\pi\hat{\sigma}_m^2 - \frac{N}{2}$$

$$\begin{aligned} \text{AIC}_m &= -2\ell(\hat{\theta}) + 2(\text{パラメータ数}) \\ &= N(\log 2\pi\hat{\sigma}_m^2 + 1) + 2(m+1) \end{aligned}$$

for $k = 1, \dots, m$

$$\hat{\sigma}_k^2 = \frac{1}{n} (s_{k+1,m+1}^2 + \dots + s_{m+1,m+1}^2)$$

$$\text{AIC}_k = N(\log 2\pi\hat{\sigma}_k^2 + 1) + 2(k+1)$$

$$\begin{bmatrix} s_{11} & \cdots & s_{1k} & \cdots & s_{1m} & s_{1,m+1} \\ & \ddots & \vdots & & \vdots & \vdots \\ & & s_{kk} & \cdots & s_{km} & s_{k,m+1} \\ & & & \ddots & \vdots & \vdots \\ & & & & s_{mm} & s_{m,m+1} \\ & & & & & s_{m+1,m+1} \\ & & & & & 0 \end{bmatrix}$$

$$\begin{bmatrix} s_{11} & \cdots & s_{1k} \\ & \ddots & \vdots \\ & & s_{kk} \end{bmatrix} \begin{bmatrix} a_1 \\ \vdots \\ a_k \end{bmatrix} = \begin{bmatrix} s_{1,m+1} \\ \vdots \\ s_{k,m+1} \end{bmatrix}$$

(4) PARCOR法によるARモデルの推定

$$\hat{a}_j^m = \hat{a}_j^{m-1} - \hat{a}_m^m \hat{a}_{m-j}^{m-1} \quad (j = 1, \dots, m-1)$$

$$\hat{a}_m^m = (\hat{\sigma}_{m-1}^2)^{-1} \left\{ \hat{C}_m - \sum_{j=1}^{m-1} \hat{a}_j^{m-1} \hat{C}_{m-j} \right\} \quad \Rightarrow \quad \text{Levinson's algorithm}$$

PARCOR法： \hat{a}_m^m をデータから直接推定する

$$y_{n-m} = \sum_{i=1}^{m-1} a_i^{m-1} y_{n-m+i} + w_{n-m}^{m-1} \quad \text{後向きARモデル}$$

$$C_m - \sum_{j=1}^{m-1} a_j^{m-1} C_{m-j} = E \left\{ \left(y_n - \sum_{i=1}^{m-1} a_i^{m-1} y_{n-i} \right) y_{n-m} \right\}$$

$$= E \left(v_n^{m-1} y_{n-m} \right)$$

$$= E \left(v_n^{m-1} w_{n-m}^{m-1} \right)$$

$$\cong \frac{1}{N-m} \sum_{n=m+1}^N \left(v_n^{m-1} w_{n-m}^{m-1} \right)$$

$$E[v_n^{m-1} y_{n-m-j}] = 0 \quad j = 1, \dots, m-1$$

PARCOR法

$$\begin{aligned}\hat{\sigma}_{m-1}^2 &= C_0 - \sum_{j=1}^{m-1} a_j^{m-1} C_j = E \left\{ \left(y_{n-m} - \sum_{i=1}^{m-1} a_i^{m-1} y_{n-m+i} \right) y_{n-m} \right\} \\ &= E \left(w_{n-m}^{m-1} y_{n-m} \right) \\ &= E \left(w_{n-m}^{m-1} \right)^2\end{aligned}$$

$$w_{n-m}^{m-1} = y_{n-m} - \sum_{i=1}^{m-1} a_i^{m-1} y_{n-m+i}$$

$$E[w_{n-m}^{m-1} y_{n-m-j}] = 0 \quad j = 1, \dots, m-1$$

$$\cong \begin{cases} \frac{1}{N-m} \sum_{n=m+1}^N \left(w_{n-m}^{m-1} \right)^2 \\ \frac{1}{N-m} \left\{ \sum_{n=m+1}^N \left(w_{n-m}^{m-1} \right)^2 \sum_{n=m+1}^N \left(v_n^{m-1} \right)^2 \right\}^{\frac{1}{2}} \\ \frac{1}{2(N-m)} \left\{ \sum_{n=m+1}^N \left(w_{n-m}^{m-1} \right)^2 + \sum_{n=m+1}^N \left(v_n^{m-1} \right)^2 \right\}\end{cases}$$

$$E \left(w_{n-m}^{m-1} \right)^2 = E \left(v_n^{m-1} \right)^2$$

$$a_m^m = \begin{cases} \sum_{n=m+1}^N v_n^{m-1} w_{n-m}^{m-1} \left\{ \sum_{n=m+1}^N \left(w_{n-m}^{m-1} \right)^2 \right\}^{-1} \\ \sum_{n=m+1}^N v_n^{m-1} w_{n-m}^{m-1} \left\{ \sum_{n=m+1}^N \left(w_{n-m}^{m-1} \right)^2 \sum_{n=m+1}^N \left(v_n^{m-1} \right)^2 \right\}^{-\frac{1}{2}} \\ \sum_{n=m+1}^N v_n^{m-1} w_{n-m}^{m-1} \left\{ \sum_{n=m+1}^N \left(w_{n-m}^{m-1} \right)^2 + \sum_{n=m+1}^N \left(v_n^{m-1} \right)^2 \right\}^{-1}\end{cases}$$

Partial Regression

PARCOR法

Burg法 (MEM)

\hat{a}_m^m $m-1$ 次の前向きARモデルと後向きARモデルの
予測誤差の相関係数

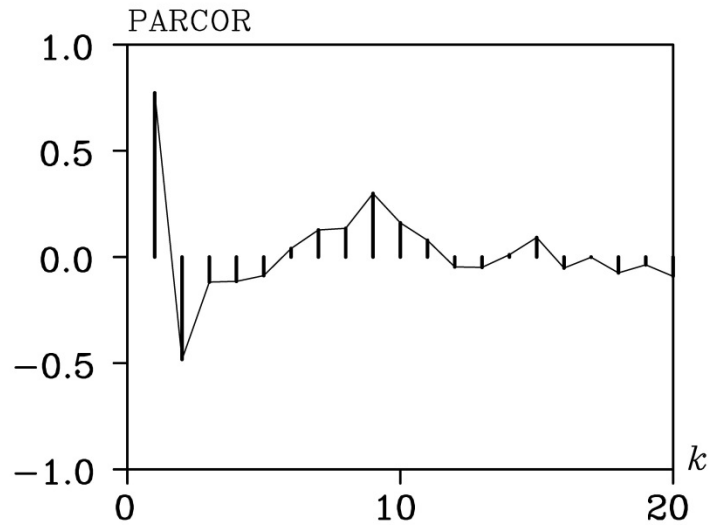
推定法の特徴

	定常性	数値精度	モデル精度	速度	自由度
Yule-Walker法	○	△	△	○	△
最尤法	◎	○	◎	×	○
最小二乗法	×	◎	○	◎	◎
PARCOR法	◎	○	○	◎	△

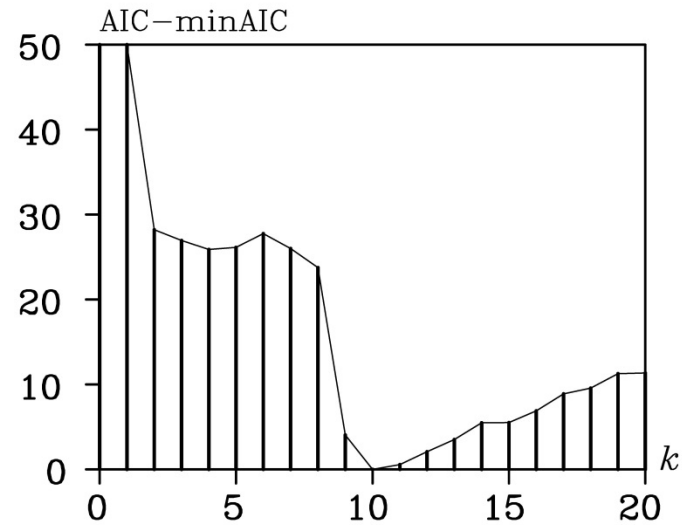
Yule-Walker法では実際は非定常な場合でも定常になる。
Householder最小二乗法でYule-Walker法の計算もできる。

$$\underbrace{0, \dots, 0}_m, y_1, y_2, \dots, y_N, \underbrace{0, \dots, 0}_m \Rightarrow \text{最小二乗法}$$

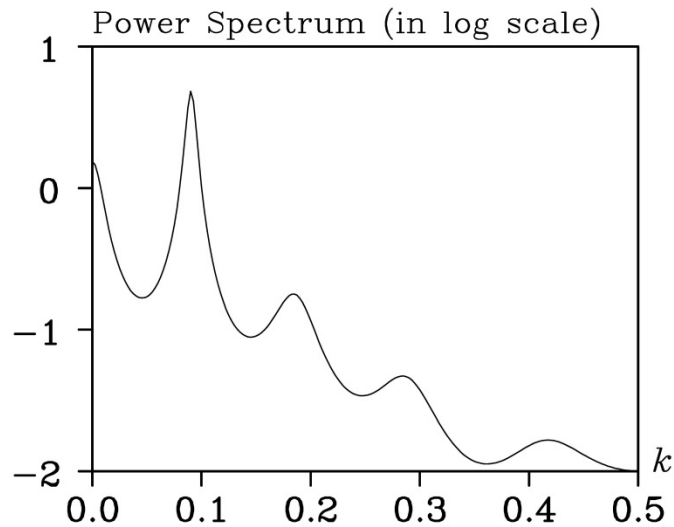
数值例 Candian Lynx data



(a)



(b)



(c)

```
# Package TSSS
# AR model fitting for Candian Lynx data
# method=1 (default) Yule-Walker method
# method=2 Householder least squares method
# method=3 Parcor method (Partial autoregrssion)
# method=4 PARCOR
# method=5 Burg's algorithm (MEM)
#
arfit(lynx,method=2)
```

Sunspot data (Box-Cox変換の選択)

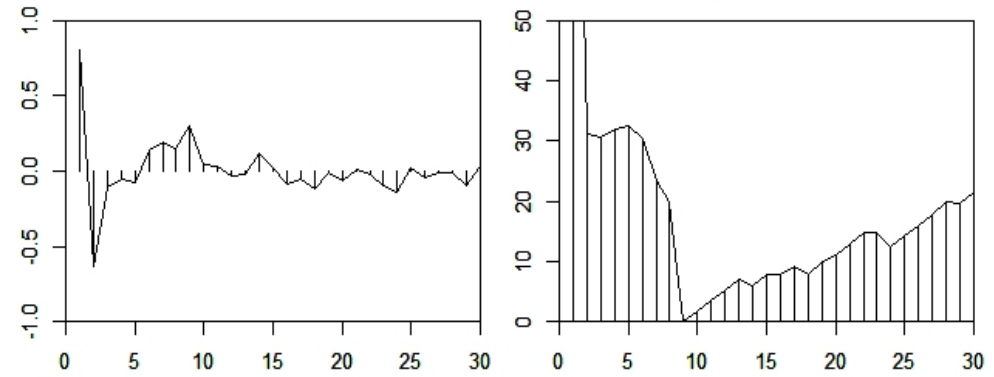
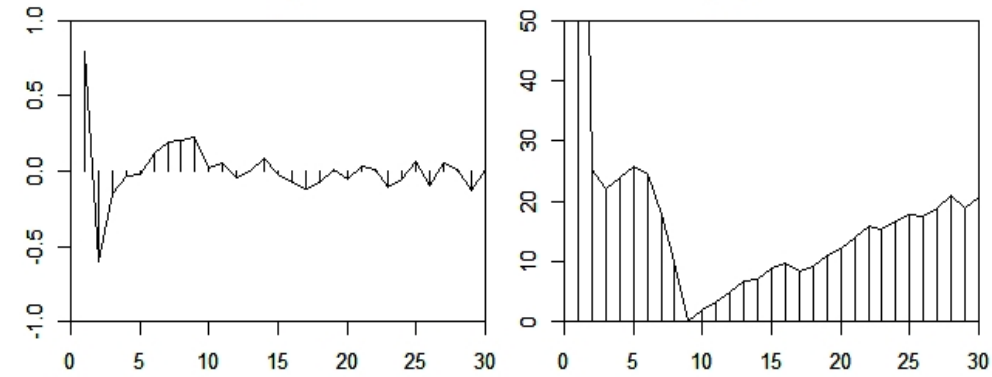
Sunspot 原データ

aic(9) = 1999.58

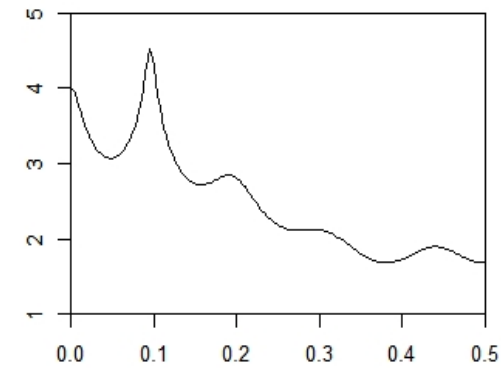
Box-Cox(0.4)

x\$z

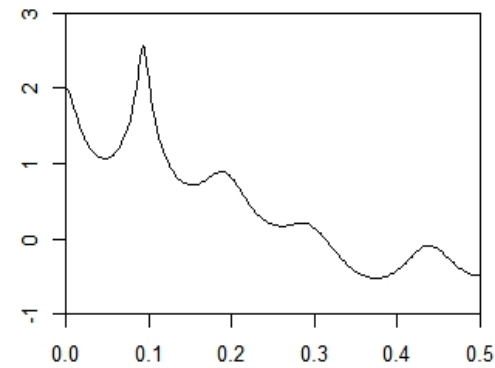
aic(9) = 908.93



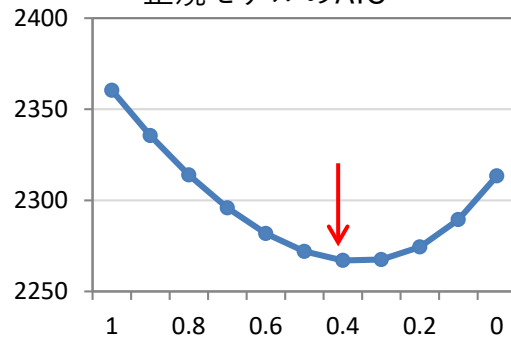
Power spectrum in log scale



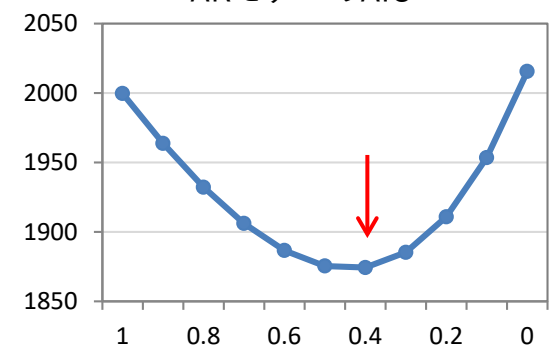
Power spectrum in log scale



正規モデルのAIC'

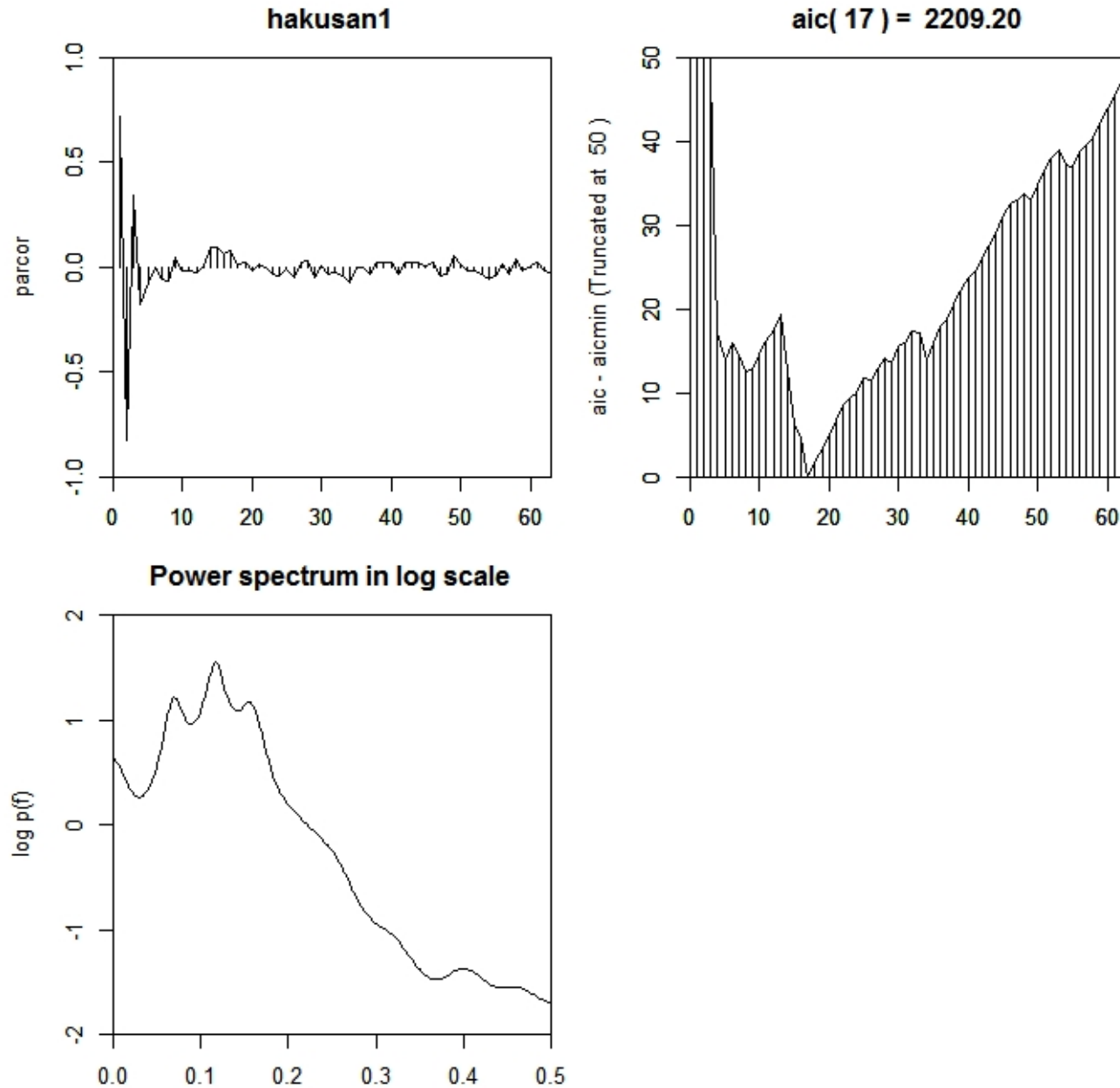


ARモデルのAIC'



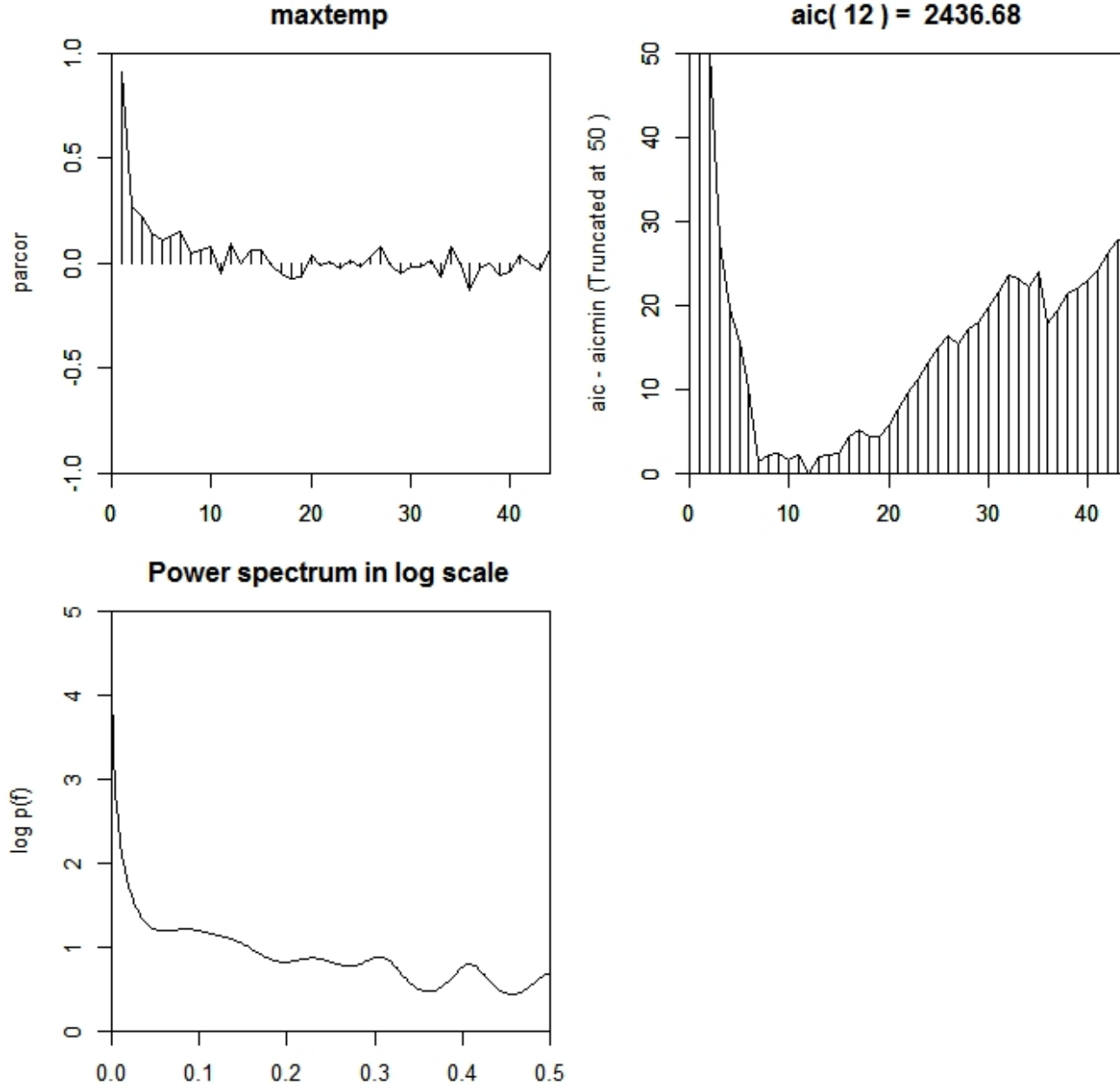
船の方向角速度データ

arfit(hakusan1)



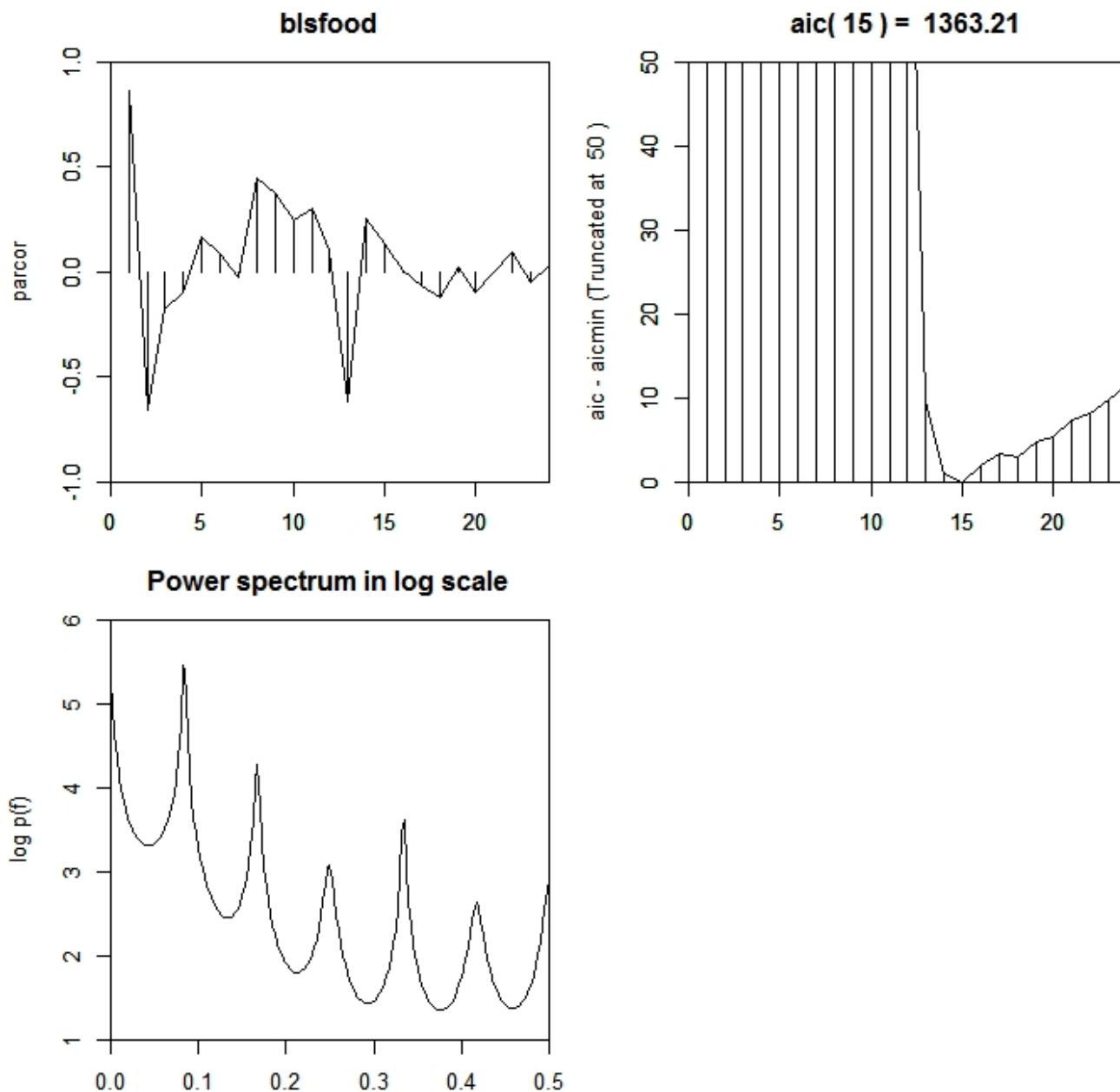
最高気温データ

arfit(maxtemp)



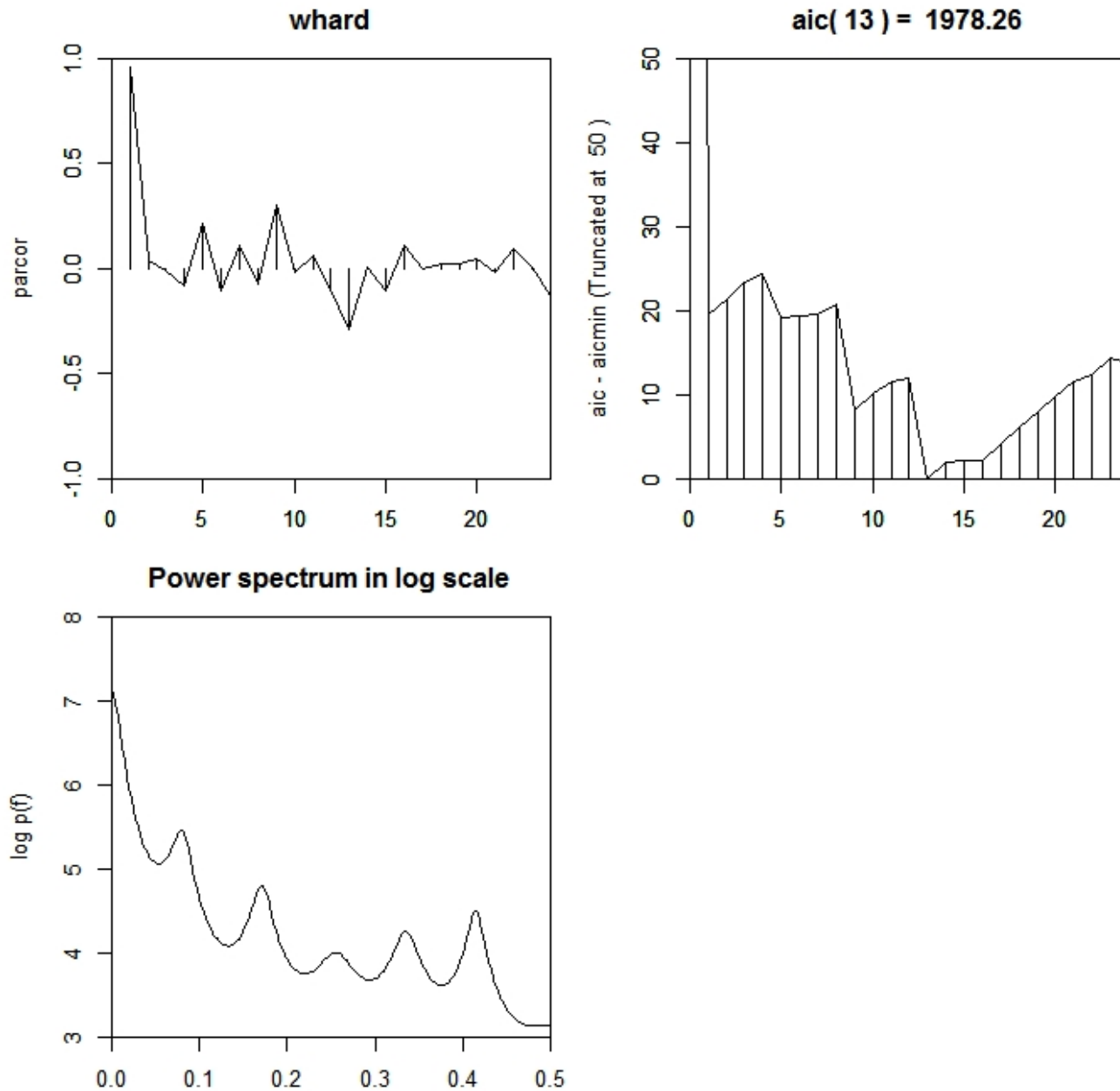
BLSALLFOOD (食品産業) データ

arfit(BLSALLFOOD)



WHARD (卸売り高) data

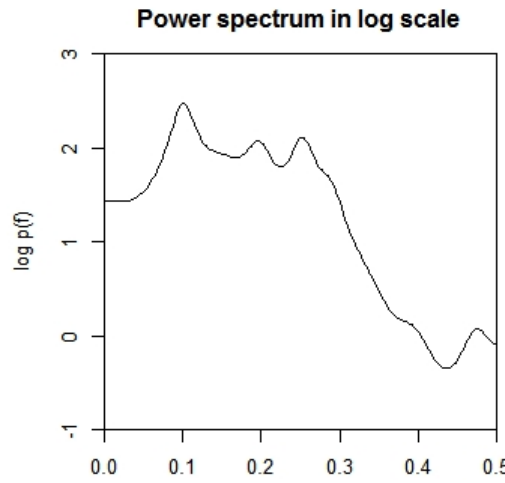
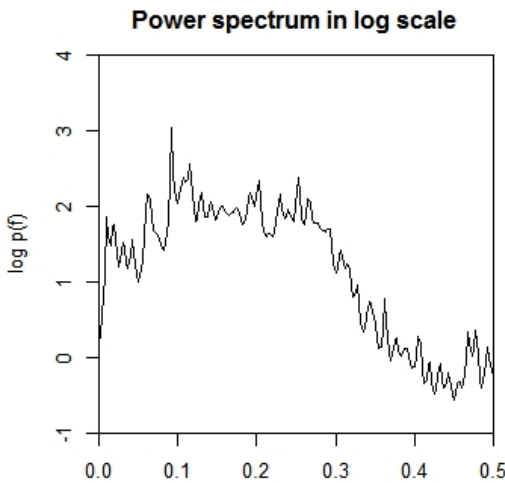
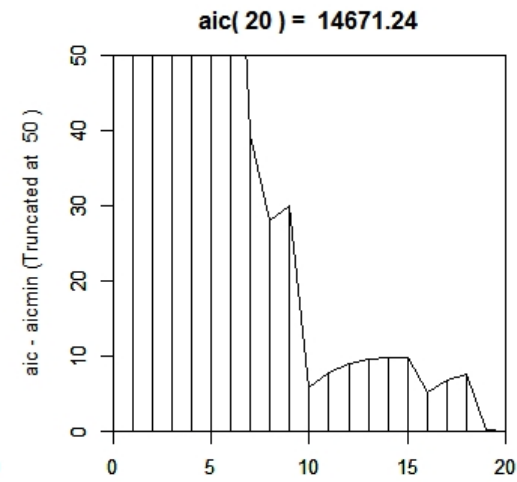
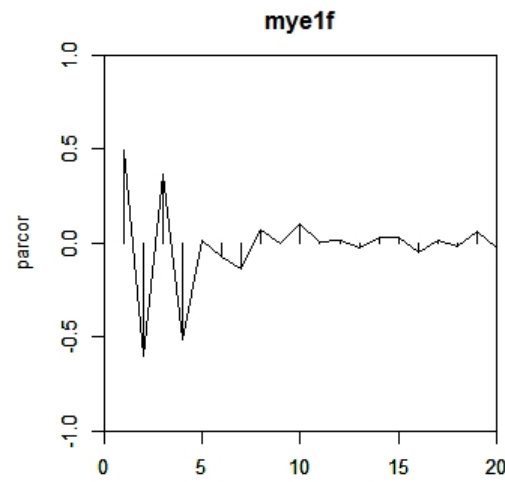
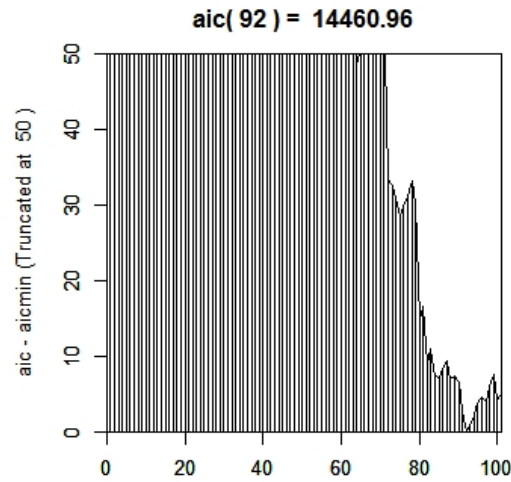
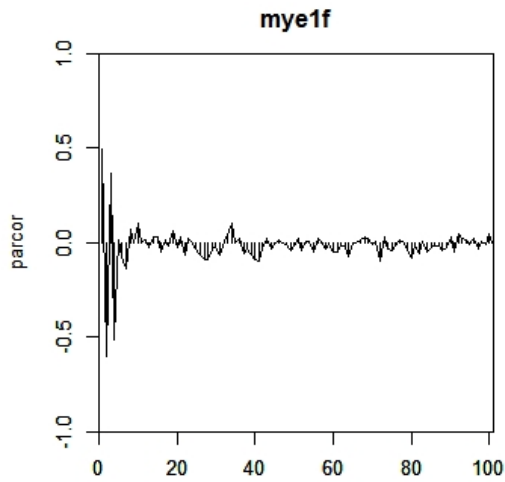
arfit(whard)



MYE1F 地震波(東西方向)データ

arfit(mye1f)

arfit(mye1f, lag=20)



1. Yule-Walker法
2. Householder (最小二乗法)
 - ・ 同時応答モデル

多変量ARモデルの推定：Yule-Walker法

$$y_n = \sum_{i=1}^m A_i^m y_{n-i} + v_n, \quad v_n \sim N(0, V_m)$$

$$C_k = E[y_n y_{n-k}^T]$$

$$C_0 = \sum_{i=1}^m A_i C_{-i} + V$$

$$C_k = \sum_{i=1}^m A_i C_{k-i} \quad (k = 1, 2, \dots)$$

$$\begin{bmatrix} C_0 & C_{-1} & \cdots & C_{1-m} \\ C_1 & C_0 & \cdots & C_{2-m} \\ \vdots & \vdots & \ddots & \vdots \\ C_{m-1} & C_{m-2} & \cdots & C_0 \end{bmatrix} \begin{bmatrix} A_1 \\ A_2 \\ \vdots \\ A_m \end{bmatrix} = \begin{bmatrix} C_1 \\ C_2 \\ \vdots \\ C_m \end{bmatrix}$$

- Toeplitz行列
- 対称行列ではない

多変量ARモデルの推定：Levinson - (Durbin)法

- 1変量ARモデルの場合，Levinsonアルゴリズムにより，Yule-Walker推定値を効率よく推定できる。
- アルゴリズムの導出には前向きモデルと後向きモデルを利用
- 多変量の場合にも同様のアルゴリズムがある。ただし，前向きモデルと後向きモデルが異なるため 2倍のパラメータが必要

● 前向きモデル

$$y_n = \sum_{i=1}^m A_i^m y_{n-i} + v_n,$$
$$v_n \sim N(0, V_m)$$

● 後ろ向きモデル

$$y_n = \sum_{i=1}^m B_i^m y_{n+i} + u_n,$$
$$u_n \sim N(0, U_m)$$

● 推定するパラメータ

$$\{((A_j^m, B_j^m), j = 1, \dots, m), V_m, U_m\}, m = 1, \dots, M$$

$$\text{パラメータ数} \quad \ell^2 M(M+1) + \ell(\ell+1)M$$

多変量ARモデルの推定：Levinson - (Durbin)法

1. 0 次のMARモデル

$$V_0 = U_0 = C_0$$

$$\text{AIC}_0 = N(k \log 2\pi + \log |V_0| + k) + k(k+1)$$

2. $m = 1, \dots, M$ について

$$(a) \quad W_m = C_m - \sum_{j=1}^{m-1} A_j^{m-1} C_{m-j}$$

$$(b) \quad A_m^m = W_m U_{m-1}^{-1},$$

$$(c) \quad A_j^m = A_j^{m-1} - A_m^m B_{m-j}^{m-1},$$

$$(c) \quad V_m = C_0 - \sum_{j=1}^m A_j^m C_j^T,$$

$$(d) \quad \text{AIC}_m = N(k \log 2\pi + \log |V_m| \hat{\sigma}_m^2 + k) + k(k+1) + 2k^2 m$$

$$B_m^m = W_m^T V_{m-1}^{-1}$$

$$B_j^m = B_j^{m-1} - B_m^m A_{m-j}^{m-1}$$

$$U_m = C_0 - \sum_{j=1}^m B_j^m C_j$$

最小二乗法による多変量ARモデルの推定

$$y_n = \sum_{i=1}^m A_i y_{n-i} + v_n, \quad v_n \sim N(0, V) \quad \text{パラメータ数} \quad m\ell^2 + \ell(\ell+1)/2$$

● 同時応答モデル

$$y_n = B_0 y_n + \sum_{i=1}^m B_i y_{n-i} + w_n, \quad w_n \sim N(0, W)$$

$$B_0 = \begin{bmatrix} 0 & 0 & \cdots & 0 \\ b_0(2,1) & 0 & \cdots & 0 \\ \vdots & \ddots & \ddots & \vdots \\ b_0(k,1) & \cdots & b_0(k,k-1) & 0 \end{bmatrix}, \quad W = \begin{bmatrix} \sigma_1^2 & & & O \\ & \sigma_2^2 & & \\ & & \ddots & \\ O & & & \sigma_k^2 \end{bmatrix}$$

$$y_n = (I - B_0)^{-1} \sum_{i=1}^m B_i y_{n-i} + (I - B_0)^{-1} w_n,$$

$$A_j = (I - B_0)^{-1} B_j$$

$$V = (I - B_0)^{-1} W (I - B_0)^{-T}$$

- MARモデルと1対1対応
- Wは対角行列

Householder 法のメリット

W は対角行列 \rightarrow 行ごとに独立に推定できる

- モデリングが自由に行える。変数ごと（説明変数，目的変数）に異なる次数を決められる
- 計算量が減少する $(ml^2)^3 = m^3 l^6 \rightarrow l(ml)^3 = ml^4$

$$X = [Z | y] = \begin{bmatrix} \overbrace{y_m^T \cdots y_1^T}^{l(m+1)} & y_{m+1}^T \\ y_{m+1}^T \cdots y_2^T & y_{m+2}^T \\ \vdots & \vdots \\ \vdots & \vdots \\ y_{N-1}^T \cdots y_{N-m}^T & y_N^T \end{bmatrix}, N-m$$

$$\rightarrow HX = \begin{bmatrix} S \\ O \end{bmatrix} = \begin{bmatrix} \overbrace{s_{11} \cdots s_{1,lm+l}}^{lm} & \overbrace{\cdots s_{1,km+l}}^l \\ \vdots & \vdots \\ s_{1,lm+l} & \cdots s_{1,lm+l} \\ \vdots & \vdots \\ O & s_{1,lm+l} \end{bmatrix}$$

$$\frac{ml^4}{m^3 l^6} = \frac{1}{m^2 l^2} = \frac{1}{5^2 10^2} = \frac{1}{2500} \quad l=10, m=5 \text{ のとき}$$

第1成分のモデル推定

$$S = \left[\begin{array}{ccc|c} s_{11} & \cdots & s_{1,\ell m} & s_{1,\ell m+1} \\ & \ddots & \vdots & \vdots \\ & & s_{\ell m,\ell m} & s_{\ell m,\ell m+1} \\ & & & s_{\ell m+1,\ell m+1} \end{array} \right] \begin{array}{l} \updownarrow \\ \ell m+1 \end{array}$$

$$y_n(1) = \sum_{i=1}^j b_i(1,1)y_{n-i}(1) + \cdots + \sum_{i=1}^j b_i(1,\ell)y_{n-i}(\ell) + w_n$$

$$S = \left[\begin{array}{cccc|cc} \overbrace{\hspace{2cm}}^{\ell m+1} & & & & & \\ \overbrace{\hspace{1cm}}^{\ell j} & s_{11} & \cdots & s_{1,\ell j} & \cdots & s_{1,\ell m} & s_{1,\ell m+1} \\ & & \ddots & \vdots & & \vdots & \vdots \\ & & & s_{\ell j,\ell j} & \cdots & s_{\ell j,\ell m} & s_{\ell j,\ell m+1} \\ & & & & \ddots & \vdots & \vdots \\ & & & & & s_{\ell m,\ell m} & s_{\ell m,\ell m+1} \\ & & & & & & s_{\ell m+1,\ell m+1} \end{array} \right]$$

$$\hat{\sigma}_j^2(1) = \frac{1}{N-m} \sum_{i=\ell j+1}^{\ell m+1} s_{i,\ell m+1}^2$$

$$AIC_j(1) = (N-m) \log(2\pi \hat{\sigma}_j^2(1) + 1) + 2(\ell j + 1)$$

$$\left[\begin{array}{ccc} s_{11} & \cdots & s_{1,\ell j} \\ & \ddots & \vdots \\ & & s_{\ell j,\ell j} \end{array} \right] \begin{bmatrix} c_1 \\ \vdots \\ c_{\ell j} \end{bmatrix} = \begin{bmatrix} s_{1,\ell m+1} \\ \vdots \\ s_{\ell j,\ell m+1} \end{bmatrix}$$

第2成分のモデル推定

$$S = \begin{bmatrix} s_{11} & \cdots & s_{1,\ell m} & s_{1,\ell m+1} & s_{1,\ell m+2} & \cdots & s_{1,\ell m+l} \\ s_{21} & \cdots & s_{2,\ell m} & & s_{2,\ell m+2} & \cdots & s_{2,\ell m+l} \\ & \ddots & \vdots & & \vdots & & \vdots \\ & & s_{\ell m+1,\ell m} & & s_{\ell m+1,\ell m+2} & \cdots & s_{\ell m+1,\ell m+l} \\ & & & & s_{\ell m+2,\ell m+2} & \cdots & s_{\ell m+1,\ell m+l} \\ & & & & & \ddots & \vdots \\ & & & & & & s_{\ell m+l,\ell m+l} \end{bmatrix}$$

$$y_n(2) = \sum_{i=1}^j b_i(2,1)y_{n-i}(1) + \cdots + \sum_{i=1}^j b_i(2,\ell)y_{n-i}(\ell) + w_n$$

$$\hat{\sigma}_j^2(2) = \frac{1}{N-m} \sum_{i=\ell j+2}^{\ell m+2} s_{i,\ell m+2}^2$$

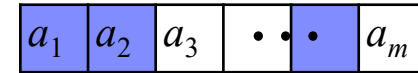
$$\text{AIC}_j(2) = (N-m) \log(2\pi \hat{\sigma}_j^2(2) + 1) + 2(\ell j + 2)$$

$$\begin{bmatrix} s_{11} & \cdots & s_{1,\ell j} & s_{1,\ell m+1} \\ s_{21} & \cdots & s_{2,\ell j} & \\ & \ddots & \vdots & \\ & & s_{\ell j+1,\ell j} & \end{bmatrix} \begin{bmatrix} c_1 \\ c_2 \\ \vdots \\ c_{\ell j+1} \end{bmatrix} = \begin{bmatrix} s_{1,\ell m+2} \\ s_{2,\ell m+2} \\ \vdots \\ s_{\ell j+1,\ell m+2} \end{bmatrix}$$

変数選択の方法

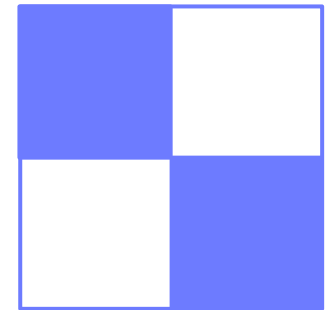
重回帰モデルの場合

$$y_n = \sum_{j=1}^m a_j x_{nj} + \varepsilon_n \quad \longrightarrow \quad y_n = \sum_{i=1}^k a_{j_i} x_{nj_i} + \delta_n$$



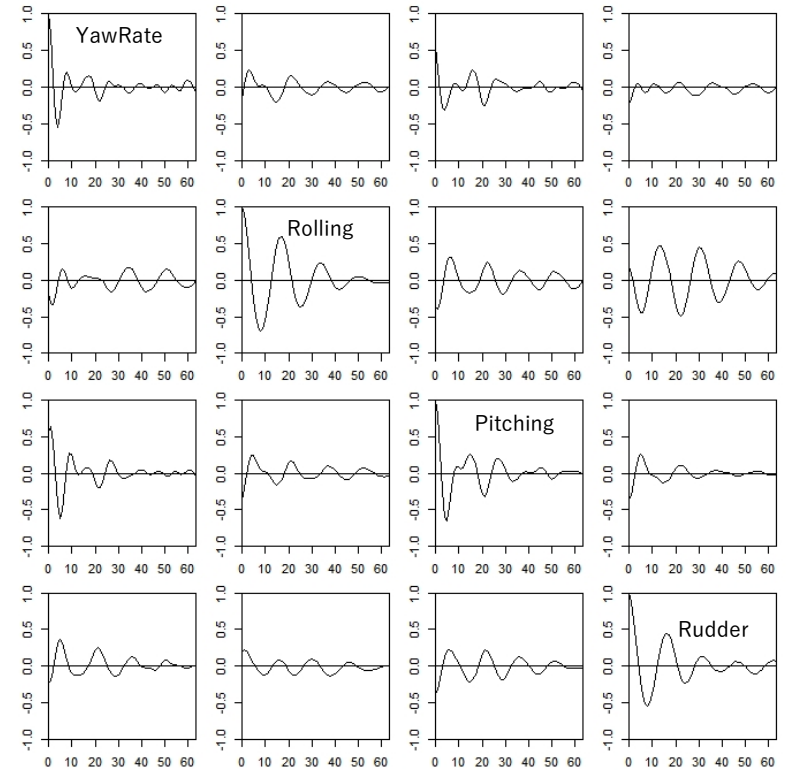
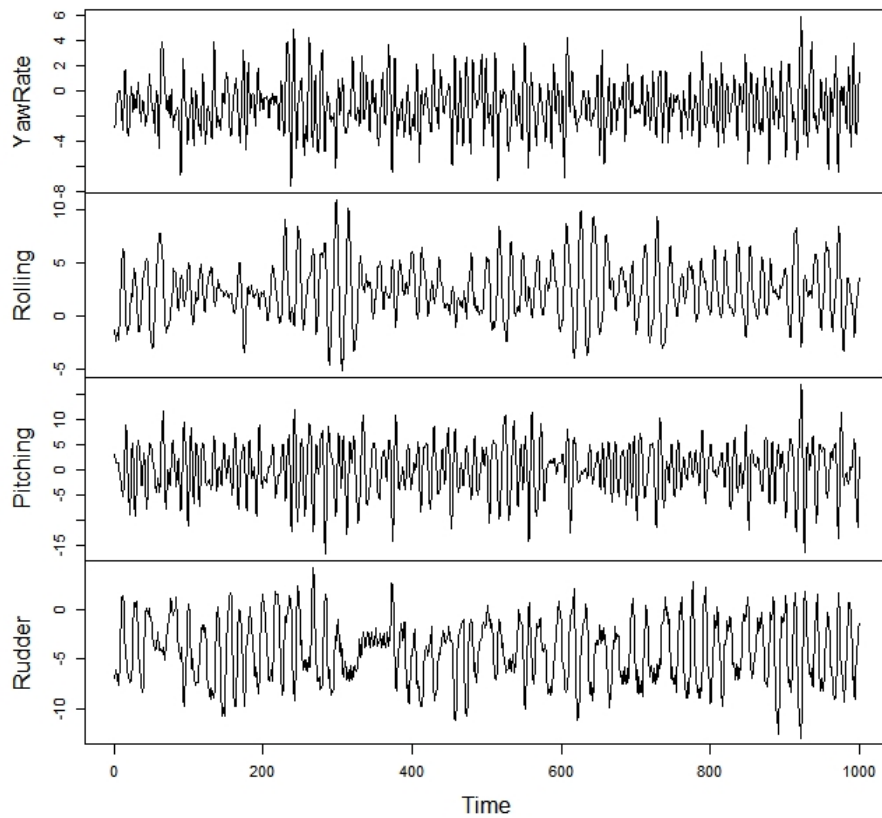
多変量時系列の場合

$$\begin{bmatrix} y_{n1} \\ y_{n2} \\ \vdots \\ y_{nl} \end{bmatrix} = \sum_{j=1}^m \begin{bmatrix} a_j(1,1) & a_j(1,2) & \cdots & a_j(1,l) \\ a_j(2,1) & a_j(2,2) & \cdots & a_j(2,l) \\ \vdots & \vdots & \ddots & \vdots \\ a_j(l,1) & a_j(l,2) & \cdots & a_j(l,l) \end{bmatrix} \begin{bmatrix} y_{n-1,1} \\ y_{n-1,2} \\ \vdots \\ y_{n-1,l} \end{bmatrix} + \begin{bmatrix} \varepsilon_{n1} \\ \varepsilon_{n2} \\ \vdots \\ \varepsilon_{nl} \end{bmatrix}$$



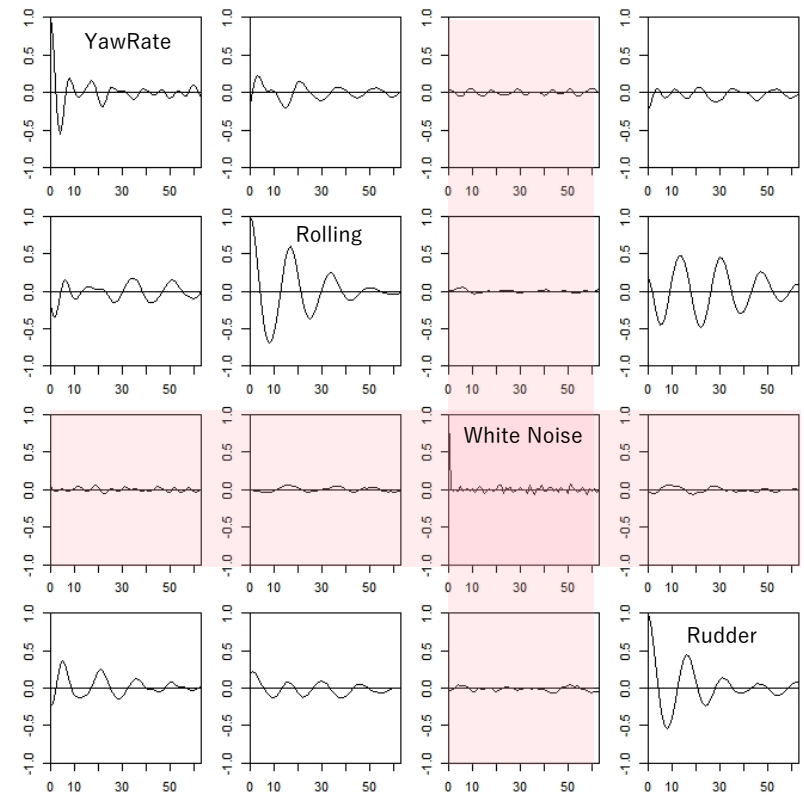
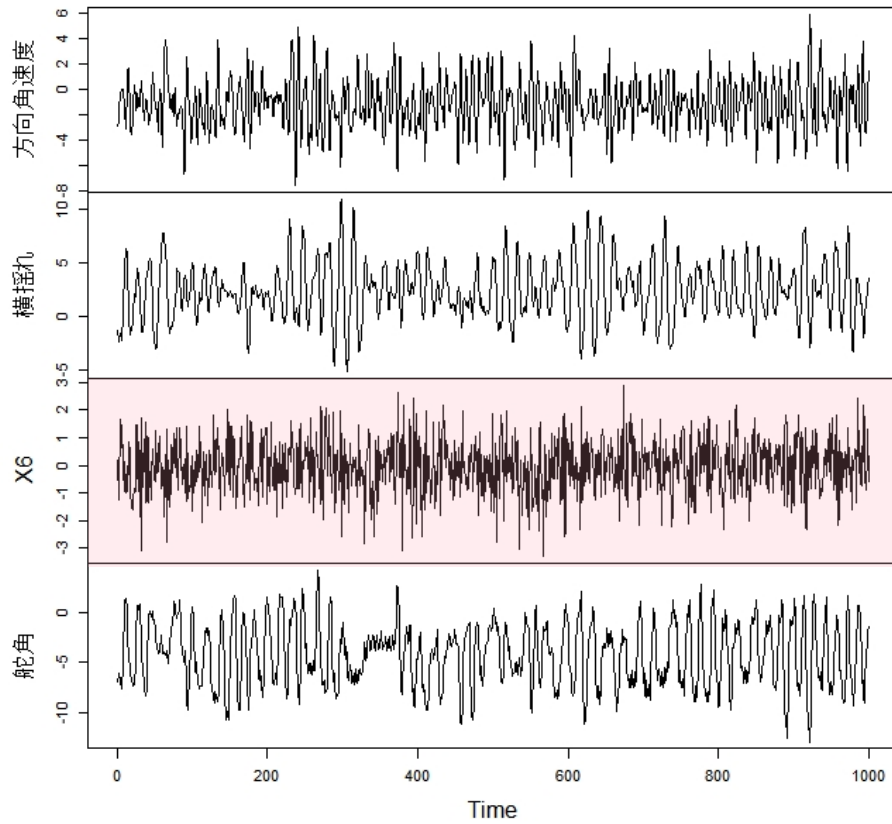
- 目的変数 = 説明変数 \longrightarrow 変数を削除すると比較評価ができない
- 2つ以上のグループにわけて、AICの和を比較する

船舶データ (Yaw, Roll, Pitch, Rudder)



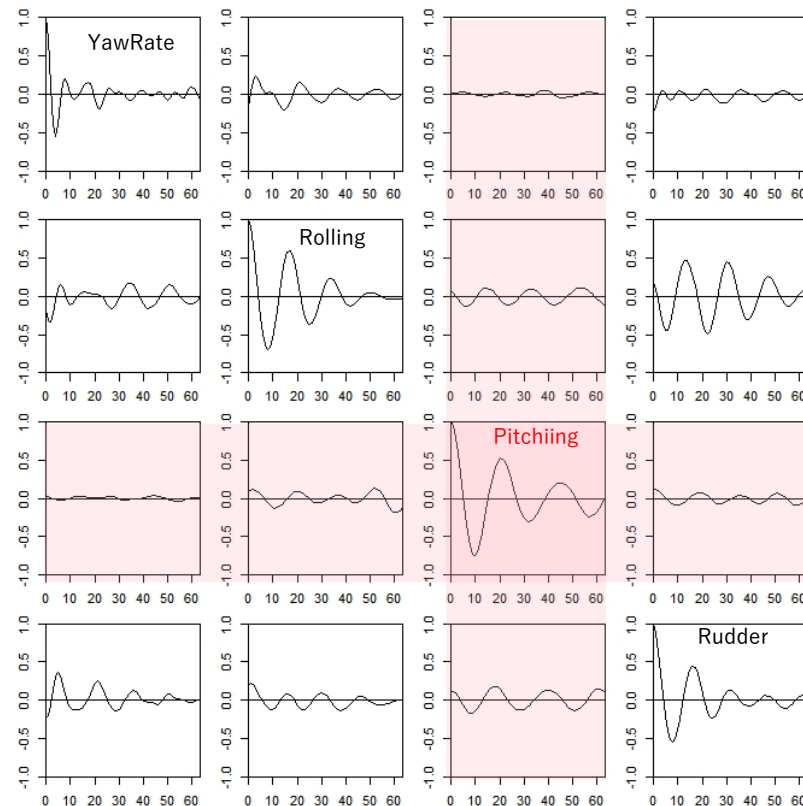
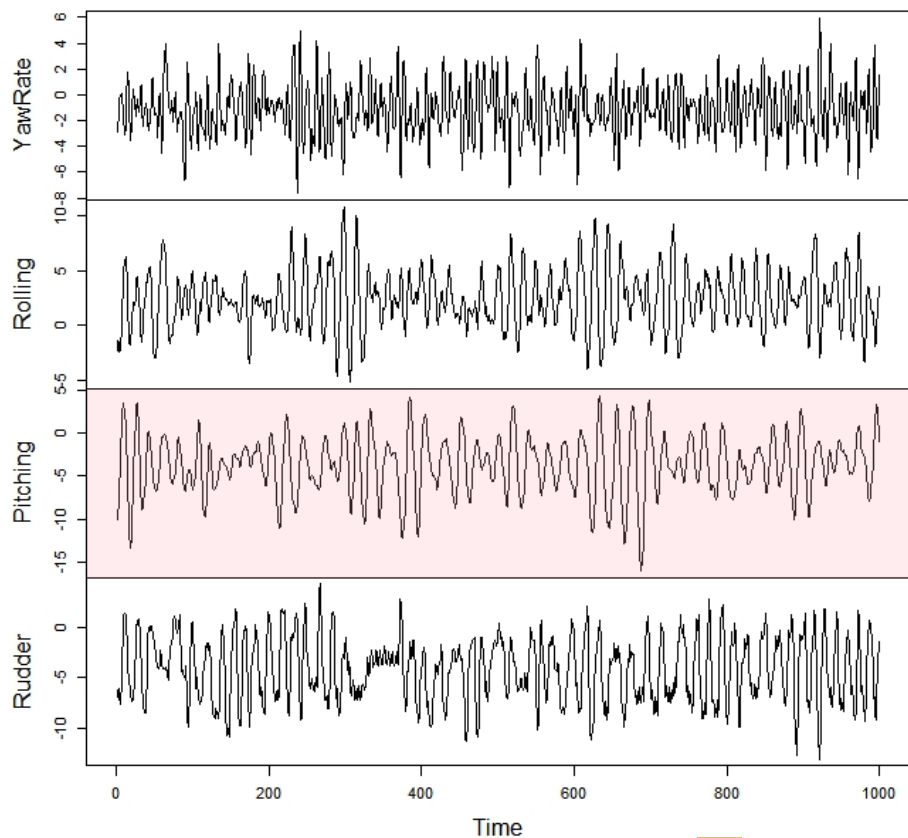
Y	R	P	Ru	AIC1	AIC2	AIC
				9400.82		9400.82
				6443.16		9528.31
				6658.67		9604.18
				7929.95		9796.86
				7640.95		9850.15
				3734.66		9717.03
				4954.60		9789.35
				4667.95		9834.12

テストデータ (3ch: 白色雑音)



Y	R	W	Ru	AIC1	AIC2	AIC
■	■	■	■	9533.72		9533.72
■	■	■	■	6608.60	3085.15	9693.75
■	■	■	■	6658.67	2821.46	9480.13
■	■	■	■	8032.19	1866.90	9899.09
■	■	■	■	7715.43	2209.20	9924.63
■	■	■	■	3734.66	5928.63	9663.29
■	■	■	■	5066.87	4834.74	9901.61
■	■	■	■	4734.23	5166.17	9900.40

テストデータ (Pitchingを入れ替え)



Y	R	P	Ru	AIC1		AIC2	AIC
■	■	■	■	7777.53			7777.53
■	■	■		4848.33	■	3085.15	7933.48
■	■	■	■	6658.67	■	1112.85	7771.52
■		■	■	6301.14	■	1866.90	8168.04
	■	■	■	5971.24	■	2209.20	8180.44
■	■			3734.66	■	4213.76	7948.43
■		■		3337.37	■	4834.74	8172.11
	■	■		2979.00	■	5166.17	8145.17